

第三章 傅里叶变换

3.1 引言

3.2 周期信号的傅里叶级数分析

3.3 典型周期信号的傅里叶级数

3.4 傅里叶变换

3.5 典型非周期信号的傅里叶变换

3.6 冲激函数和阶跃函数的傅里叶变换

3.7 傅里叶变换的基本性质

3.8 卷积特性

3.9 周期信号的傅里叶变换

3.10 抽样信号的傅里叶变换

3.11 抽样定理

傅里叶变换（频域分析）的目的：

采用数学变换的手段，解决某些信号在时域特征不明显、很难分析的问题。

傅立叶分析：从数学的角度，是对一个函数进行傅立叶变换，而从信号处理的角度，则是对信号 $f(t)$ 的频谱 $F(\omega)$ 进行分析，其优点包括：

- (1) 傅立叶分析的基函数 $e^{j\omega t}$ 是一组正交基，且函数形式非常简单；
- (2) $F(\omega)$ 有着明确和极其重要的物理意义，即信号 $f(t)$ 的频谱；
- (3) 傅立叶变换把时域 $f(t)$ 的微、积分运算在频域 $F(\omega)$ 表现为乘、除运算；
- (4) 傅立叶分析具有快速算法 - FFT (Fast Fourier Transform) 。

频域分析

- 傅里叶级数：周期信号可表示为谐波关系的正弦信号的加权和
- 傅里叶变换：非周期信号可表示为0到无穷高所有频率分量上正弦信号的加权积分

傅里叶 (J. Fourier, 1768-1830)

1795年，傅里叶任法国巴黎综合工科大学助教，后跟随拿破仑远征埃及。

1807年，傅里叶提出：任何一个周期信号都可以展开成具有谐波关系的正弦函数的叠加。

拉格朗日 (Lagrange, 1736-1813) 认为此主张无意义，因为实际信号中存在间断点。

1811年，傅里叶的论文《热的传播》获得科学院大奖，但仍未正式发表。

1817年，傅里叶由于对传热理论的贡献，当选法国科学院院士。

1822年，傅里叶出版《热的解析理论》，阐明了傅里叶级数的观点，并成为科学院终身秘书。

1829年，狄里赫利 (Dirichlet) 证明：只有在满足一定条件时，周期信号才能被展开成傅里叶级数。

1830年，傅里叶在法国巴黎去世，时年六十二岁。

狄里赫利条件 (傅里叶级数存在的充分必要条件) :

(1) 在一个周期内，信号连续或只有有限个第一类间断点 (函数在该间断点存在有限值的左极限和右极限，如函数 $|\sin(t)| / \sin(t)$ 在点 $t = 0$ 处)。

(2) 在一个周期内，信号的极大值和极小值的数目应为有限个。

(3) 在一个周期内，信号绝对可积，即 $\int_0^T |f(t)| dt < \infty$ 。

- 工程中大部分信号都满足狄里赫利条件

3.2 周期信号的傅里叶级数分析

周期信号的傅里叶级数：任何周期函数在满足一定条件下，可以展成正交函数线性组合的无穷级数。

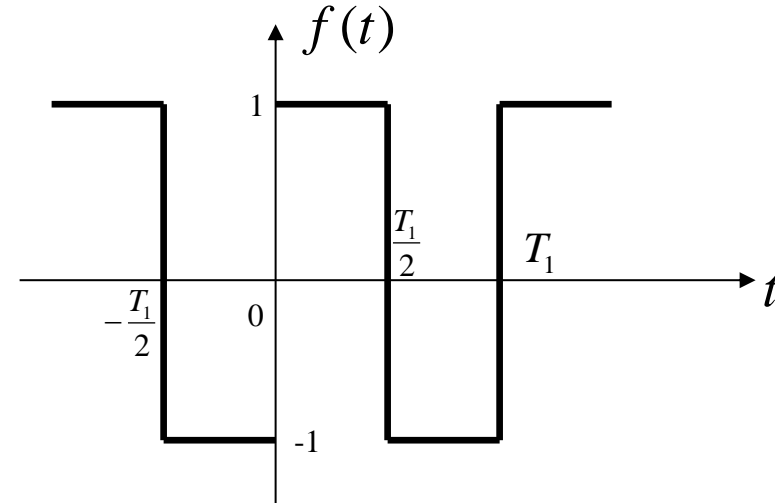
如果正交函数集是三角函数集或指数函数集，此时周期函数所展成的级数就是“傅里叶级数”。

$$\{1, \cos(n\omega_1 t), \sin(n\omega_1 t)\} \quad \{e^{jn\omega_1 t}\}$$

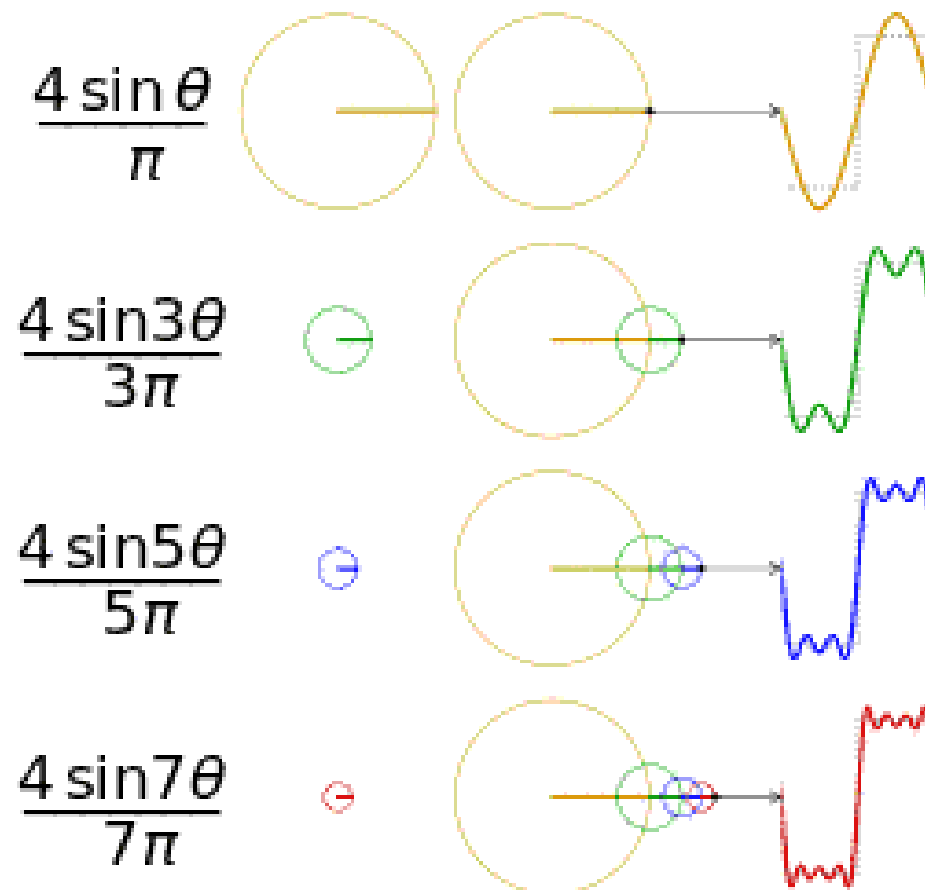
为什么选择三角函数（正弦波）作为傅里叶级数的基本信号？

- 正弦曲线有保真度：一个正弦信号通过LTI系统后，输出的仍是正弦信号，只有幅度和相位可能发生变
化，但频率和波形不变。
- 三角（指数）函数的积分和求导仍为三角（指数）函数。

周期矩形信号的产生



多少个正弦波叠加可以构成矩形信号?
无数个。



3.2.3 周期信号的频谱及其特点

1. 周期信号的频谱

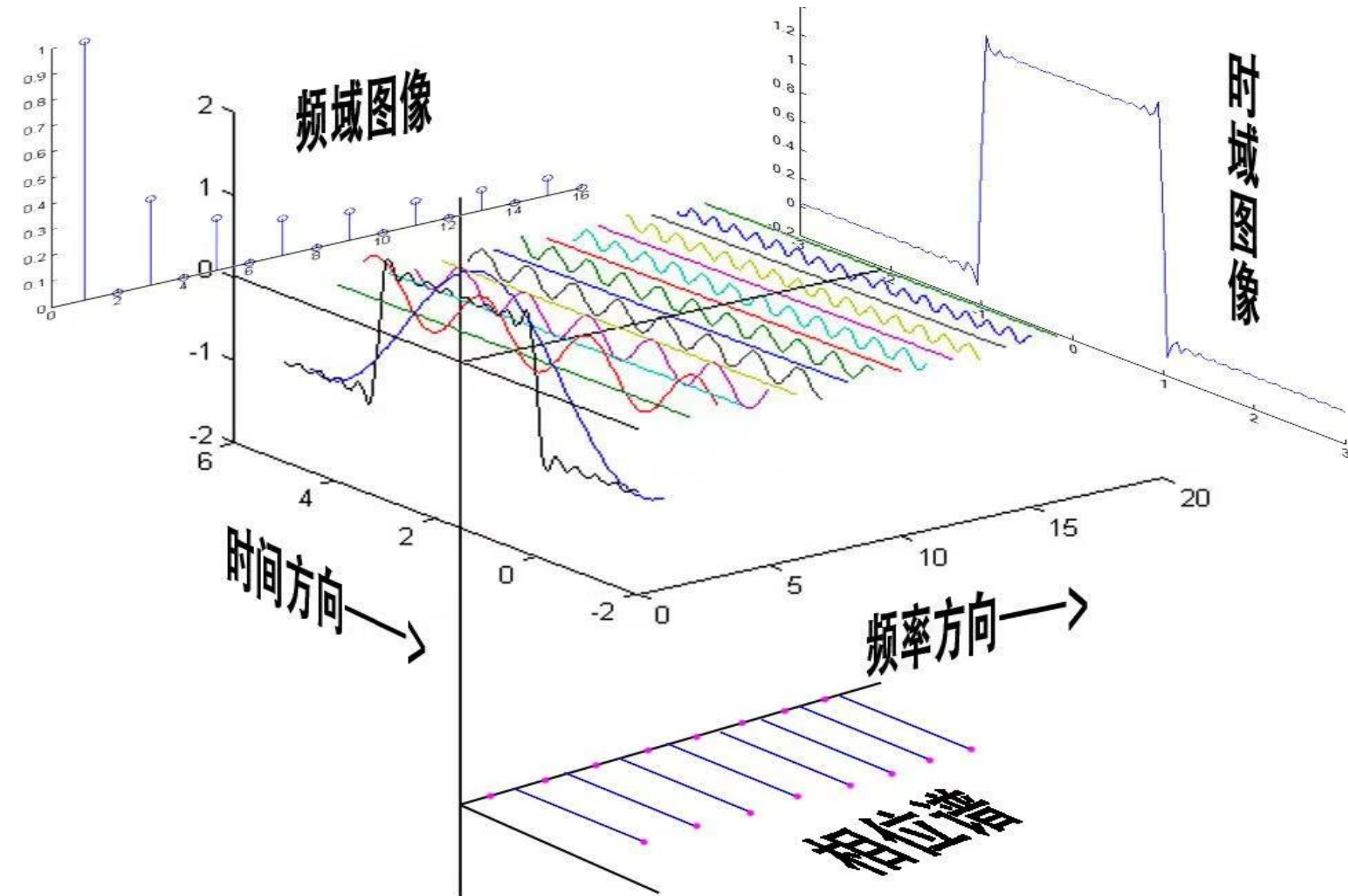
$$f(t) = a_0 + \sum_{n=1}^{\infty} (a_n \cos n\omega_1 t + b_n \sin n\omega_1 t) \quad (1)$$

$$f(t) = c_0 + \sum_{n=1}^{\infty} c_n \cos(n\omega_1 t + \varphi_n) \quad (2)$$

$$f(t) = \sum_{n=-\infty}^{\infty} F_n e^{jn\omega_1 t} \quad (3)$$

为了能既方便又明确的表示一个信号中含有哪些频率分量，各频率分量所占的比重怎样，就可画出**频谱图**来直观的表示。

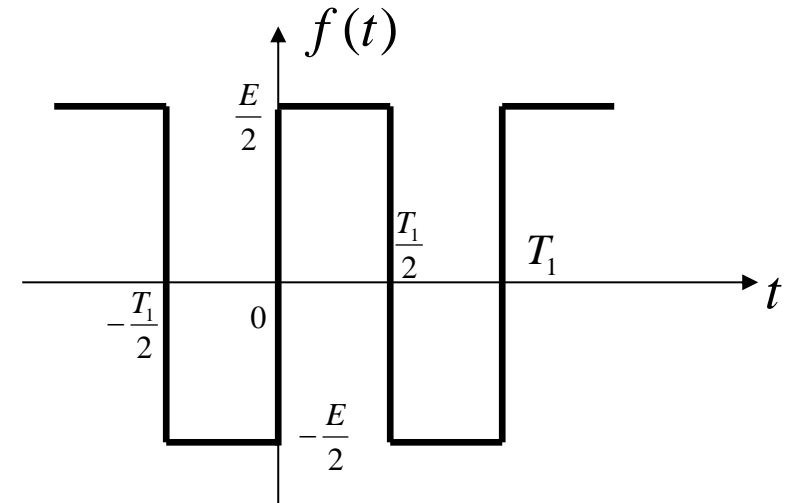
如果以频率为横轴，以幅度或相位为纵轴，便可直观的看出各频率分量的相对大小和相位情况，这样的图就称为三角形式表示的信号的**幅度频谱**和**相位频谱**。



例3-1 求如图所示的周期矩形信号的三角形式与指数形式的傅里叶级数，并画出各自的频谱图。

解：一个周期内 $f(t)$ 的表达式为：

$$f(t) = \begin{cases} \frac{E}{2} & 0 \leq t < \frac{T_1}{2} \\ -\frac{E}{2} & -\frac{T_1}{2} \leq t < 0 \end{cases} \quad (\text{奇函数})$$



$$a_0 = \frac{1}{T_1} \int_{-T_1/2}^{T_1/2} f(t) dt = 0 \quad a_n = \frac{2}{T_1} \int_{-T_1/2}^{T_1/2} f(t) \cos n\omega_1 t dt = 0$$

$$b_n = \frac{2}{T_1} \int_{-T_1/2}^{T_1/2} f(t) \sin n\omega_1 t dt = \begin{cases} \frac{2E}{n\pi} & n = 1, 3, 5, \dots \\ 0 & n = 2, 4, 6, \dots \end{cases}$$

三角形式:

$$c_n = b_n = \begin{cases} \frac{2E}{n\pi} & n = 1, 3, 5 \dots \\ 0 & n = 2, 4, 6 \dots \end{cases}$$

$$\varphi_n = \arctan\left(-\frac{b_n}{a_n}\right) = -\frac{\pi}{2} \quad (n = 1, 3, 5 \dots)$$

因此 $f(t) = \frac{2E}{\pi} \sum_{n=1,3,5\dots}^{\infty} \frac{1}{n} \sin n\omega_1 t = \frac{2E}{\pi} \left(\sin \omega_1 t + \frac{1}{3} \sin 3\omega_1 t + \frac{1}{5} \sin 5\omega_1 t + \dots \right)$

或 $f(t) = \frac{2E}{\pi} \sum_{n=1,3,5\dots}^{\infty} \frac{1}{n} \cos\left(n\omega_1 t - \frac{\pi}{2}\right)$

指数形式:

$$F_n = \frac{1}{2}(a_n - jb_n) = -j\frac{b_n}{2} = \begin{cases} -\frac{jE}{n\pi} & n = \pm 1, \pm 3, \pm 5 \dots \\ 0 & n = \pm 2, \pm 4, \pm 6 \dots \end{cases}$$

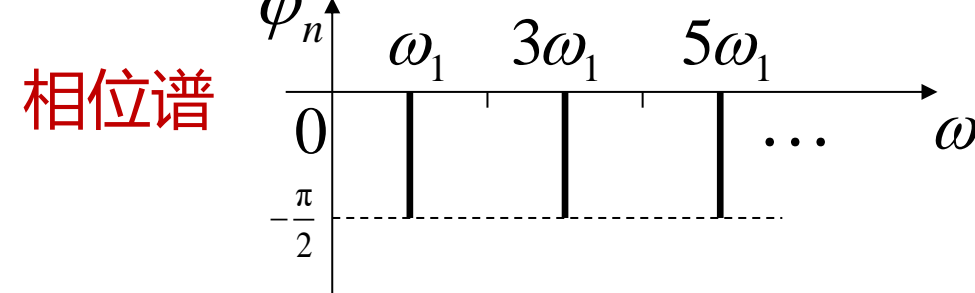
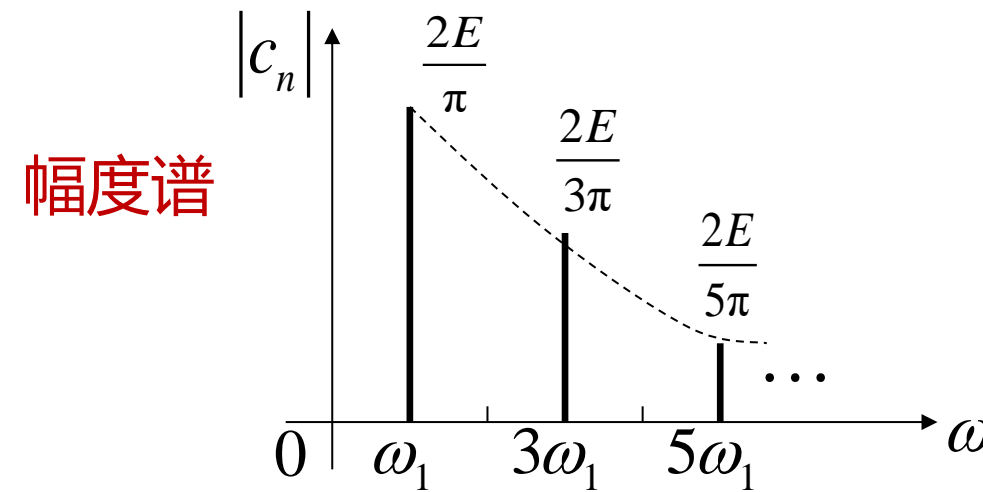
$$f(t) = \left(\frac{jE}{\pi} e^{-j\omega_1 t} - \frac{jE}{\pi} e^{j\omega_1 t} \right) + \left(\frac{jE}{3\pi} e^{-j3\omega_1 t} - \frac{jE}{3\pi} e^{j3\omega_1 t} \right) + \dots$$

$$|F_n| = \frac{E}{|n|\pi} \quad (n = \pm 1, \pm 3, \pm 5 \dots)$$

$$\varphi_n = \begin{cases} -\frac{\pi}{2} & (n = 1, 3, 5 \dots) \\ \frac{\pi}{2} & (n = -1, -3, -5 \dots) \end{cases}$$

$$c_n = \begin{cases} \frac{2E}{n\pi} & n = 1, 3, 5 \dots \\ 0 & n = 2, 4, 6 \dots \end{cases}$$

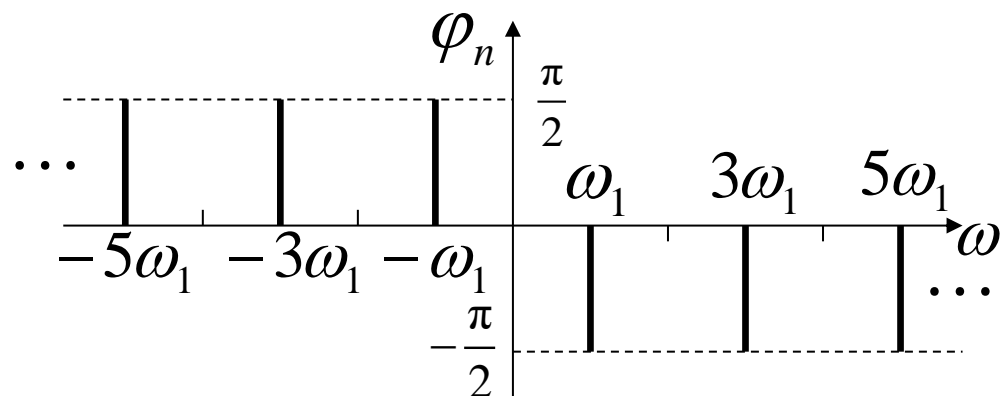
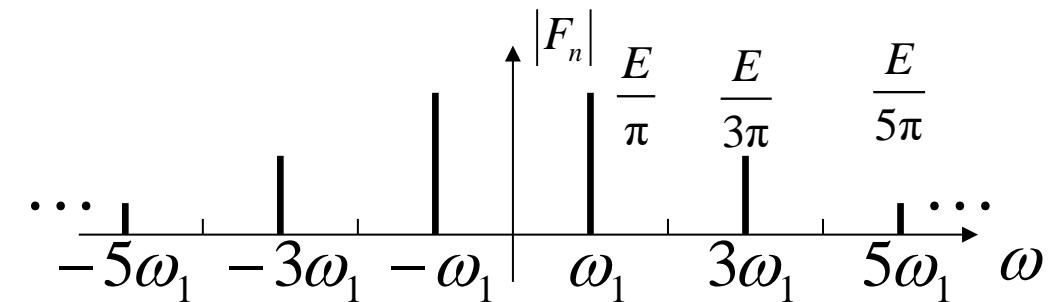
$$\varphi_n = -\frac{\pi}{2} \quad (n = 1, 3, 5 \dots)$$



$$|F_n| = \frac{E}{|n|\pi} \quad (n = \pm 1, \pm 3, \pm 5 \dots)$$

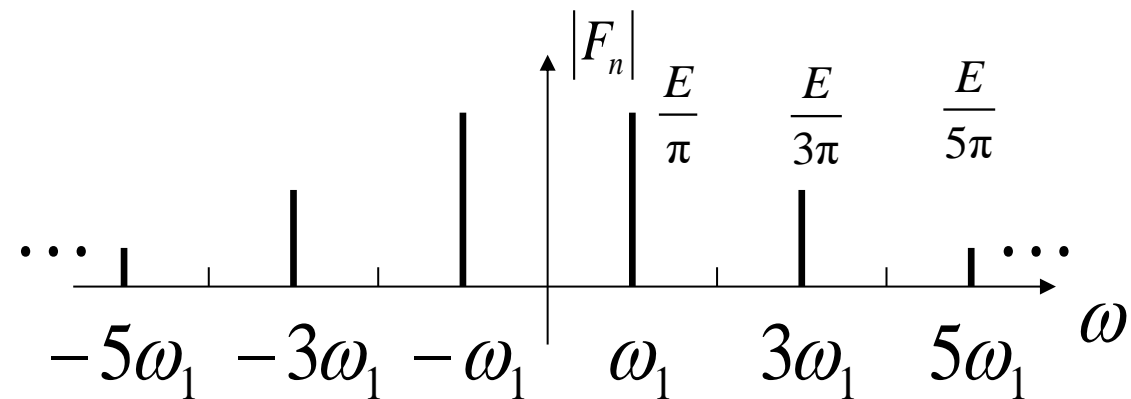
$$\varphi_n = \begin{cases} -\frac{\pi}{2} & (n = 1, 3, 5 \dots) \\ \frac{\pi}{2} & (n = -1, -3, -5 \dots) \end{cases}$$

负频率能量守恒
幅度减半



2. 周期信号频谱的特点

- (1) **离散性**---频谱是离散的而不是连续的，这种频谱称为离散频谱。
- (2) **谐波性**---谱线出现在基波频率 ω_1 的整数倍上。
- (3) **收敛性**---幅度谱的谱线幅度随着 $n \rightarrow \infty$ 而逐渐衰减到零。



3.2.4 波形的对称性与谐波特性关系

已知信号 $f(t)$ 展为傅里叶级数的时候，如果 $f(t)$ 是实函数且它的波形满足某种对称性，则在傅里叶级数中有些项将不会出现，留下的各项系数的表达式也将变得比较简单。

波形的对称性有两类，一类是根据坐标轴对称；另一类是根据半周期对称。

1. 偶函数

$$f(t) = f(-t)$$

$$b_n = \frac{2}{T_1} \int_{-\frac{T_1}{2}}^{\frac{T_1}{2}} f(t) \sin n\omega_1 t dt = 0 \quad t \text{ 的奇函数}$$

$$a_0 = \frac{1}{T_1} \int_{-\frac{T_1}{2}}^{\frac{T_1}{2}} f(t) dt = \frac{2}{T_1} \int_0^{\frac{T_1}{2}} f(t) dt \quad t \text{ 的偶函数}$$

$$a_n = \frac{2}{T_1} \int_{-\frac{T_1}{2}}^{\frac{T_1}{2}} f(t) \cos n\omega_1 t dt = \frac{4}{T_1} \int_0^{\frac{T_1}{2}} f(t) \cos n\omega_1 t dt \quad t \text{ 的偶函数}$$

所以，在偶函数的傅里叶级数中不会有正弦分量，只可能含有（直流）和余弦分量
(教材99页)。

2. 奇函数

$$f(t) = -f(-t)$$

$$a_0 = \frac{1}{T_1} \int_{-\frac{T_1}{2}}^{\frac{T_1}{2}} f(t) dt = 0 \quad t \text{ 的奇函数}$$

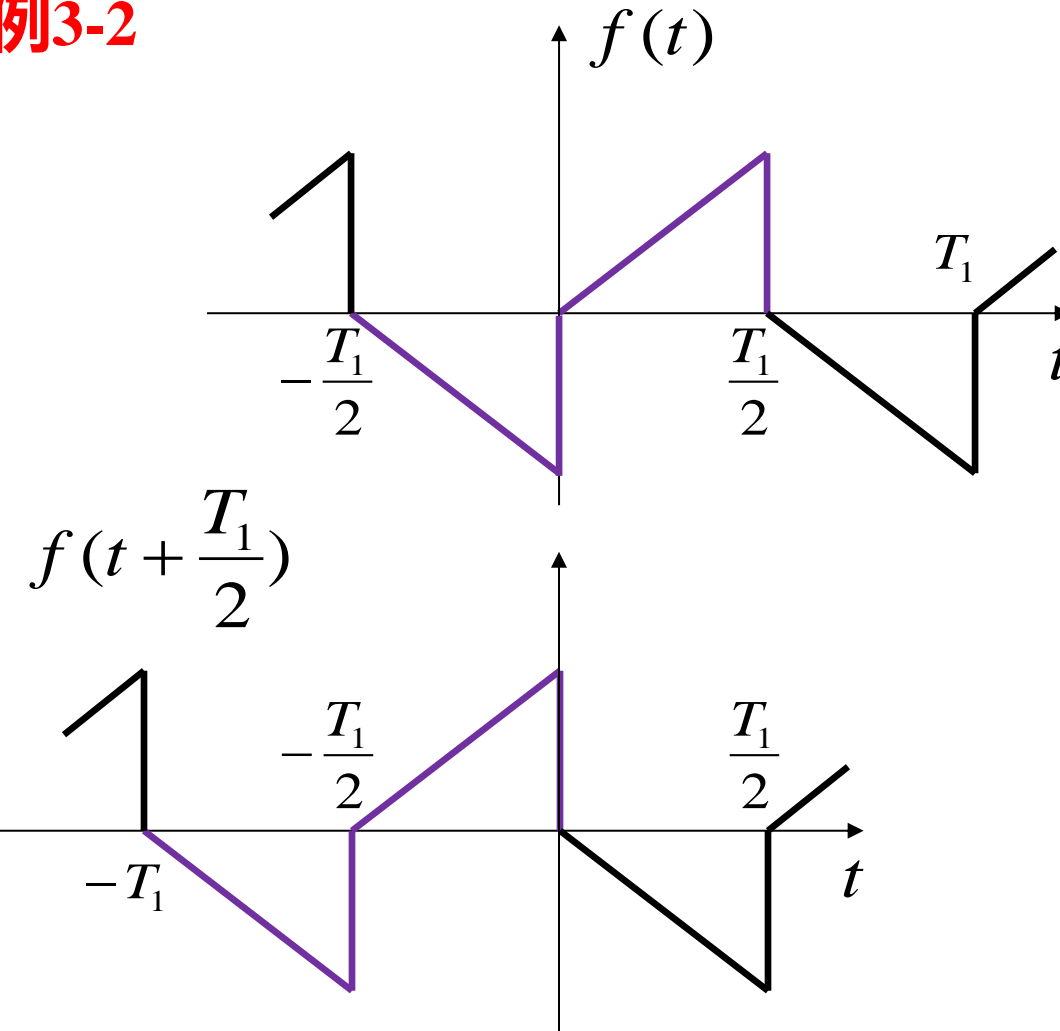
$$a_n = \frac{2}{T_1} \int_{-\frac{T_1}{2}}^{\frac{T_1}{2}} f(t) \cos n\omega_1 t dt = 0 \quad t \text{ 的奇函数}$$

$$b_n = \frac{2}{T_1} \int_{-\frac{T_1}{2}}^{\frac{T_1}{2}} f(t) \sin n\omega_1 t dt = \frac{4}{T_1} \int_0^{\frac{T_1}{2}} f(t) \sin n\omega_1 t dt \quad t \text{ 的偶函数}$$

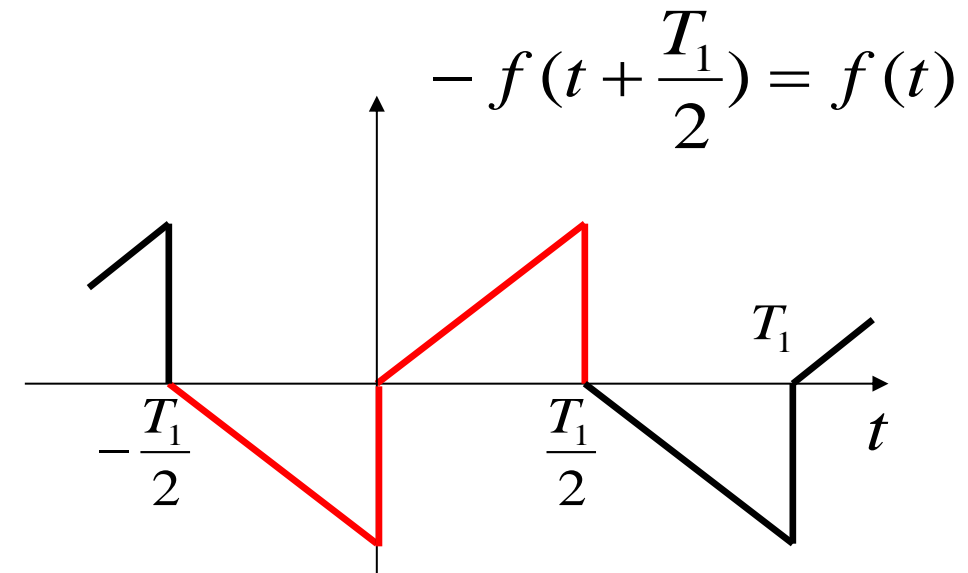
所以，在奇函数的傅里叶级数中不会含有直流与余弦分量，只可能包含正弦分量
(教材100页)。

3. 奇谐函数 (半波奇对称)

例3-2



$$f(t \pm \frac{T_1}{2}) = -f(t) \quad \text{或} \quad -f(t \pm \frac{T_1}{2}) = f(t)$$



$$a_0 = \frac{1}{T_1} \int_{-\frac{T_1}{2}}^{\frac{T_1}{2}} f(t) dt = 0 \quad \text{积分区间是一个周期, 一个周期内是 } t \text{ 的奇函数}$$

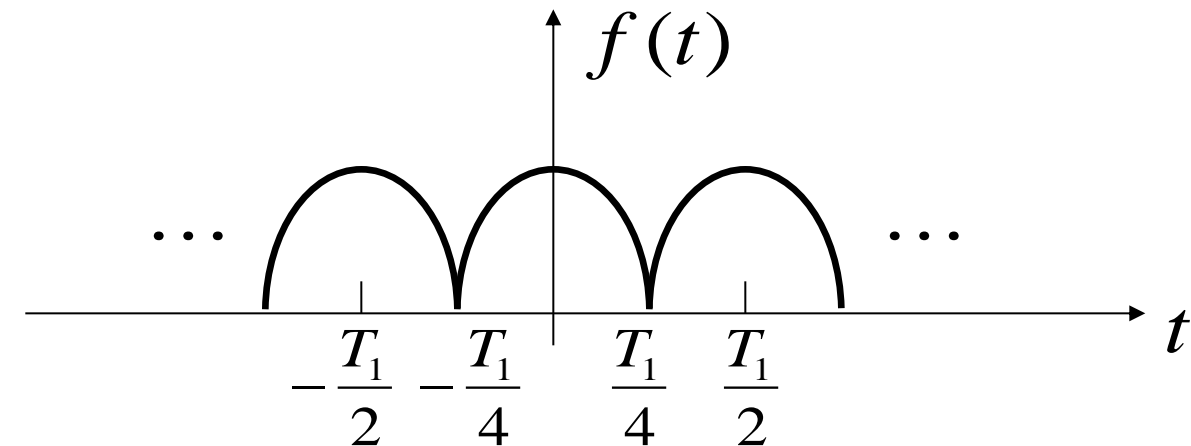
$$a_n = \begin{cases} 0 & (n = 2, 4, 6 \dots) \\ \frac{4}{T_1} \int_0^{\frac{T_1}{2}} f(t) \cos n\omega_1 t dt & (n = 1, 3, 5 \dots) \end{cases}$$

$$b_n = \begin{cases} 0 & (n = 2, 4, 6 \dots) \\ \frac{4}{T_1} \int_0^{\frac{T_1}{2}} f(t) \sin n\omega_1 t dt & (n = 1, 3, 5 \dots) \end{cases}$$

可见，在奇谐函数的傅里叶级数中，只会含有基波和奇次谐波的正弦、余弦分量，而不会包含直流和偶次谐波分量。（教材101页）

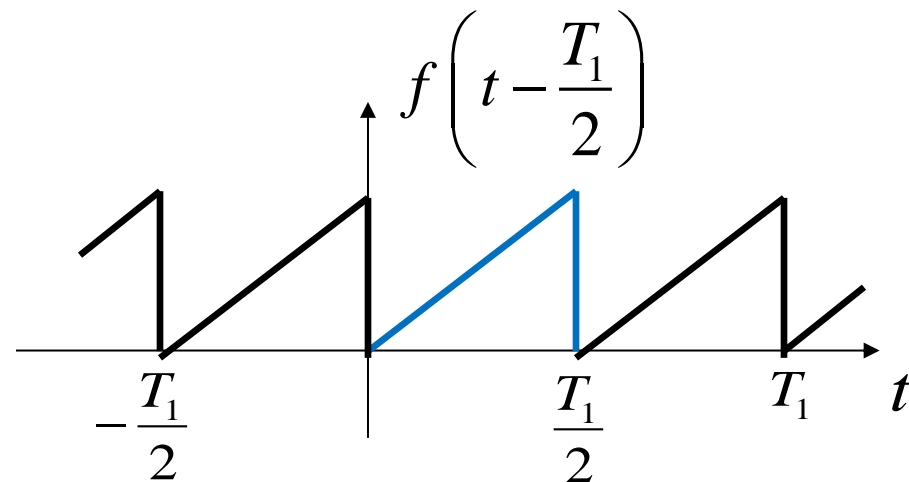
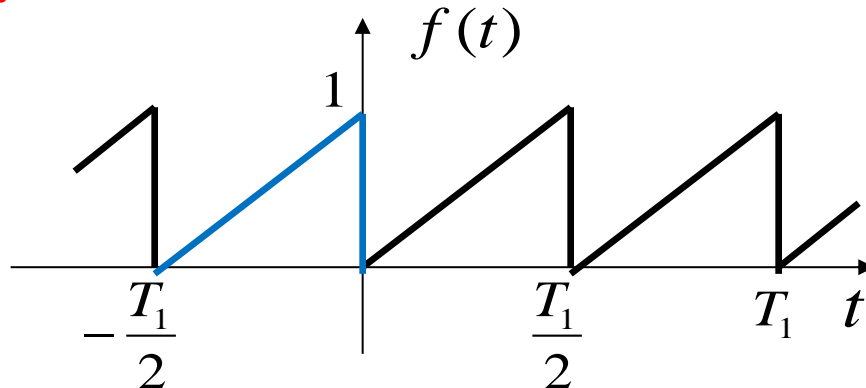
4. 偶谐函数 (半波偶对称)

$$f(t \pm \frac{T_1}{2}) = f(t)$$



在偶谐函数的傅里叶级数中，只会含有（直流）与偶次谐波的正弦、余弦分量，而不会包含奇次谐波分量。

例3-3：



波形对称性与谐波特性的总结

$f(t)$ 的对称条件	展开式中系数特点
$f(t) = f(-t)$, 纵轴对称 (偶函数)	$b_n = 0, a_n = \frac{4}{T} \int_0^{T/2} f(t) \cos n\omega_1 t dt$
$f(t) = -f(-t)$, 原点对称 (奇函数)	$a_n = 0, b_n = \frac{4}{T} \int_0^{T/2} f(t) \sin n\omega_1 t dt$
$f(t) = f(t + \frac{T}{2})$, 半波偶对称 (偶谐函数)	无奇次谐波, 只有直流和偶次谐波
$f(t) = -f(t + \frac{T}{2})$, 半波奇对称 (奇谐函数)	无偶次谐波和直流, 只有奇次 谐波分量

3.2.5 吉布斯 (Gibbs) 现象

目的：用有限项近似无限项

测度准则：最小均方误差准则

$$n=1: f(t) \approx \frac{2E}{\pi} \sin \omega_1 t$$

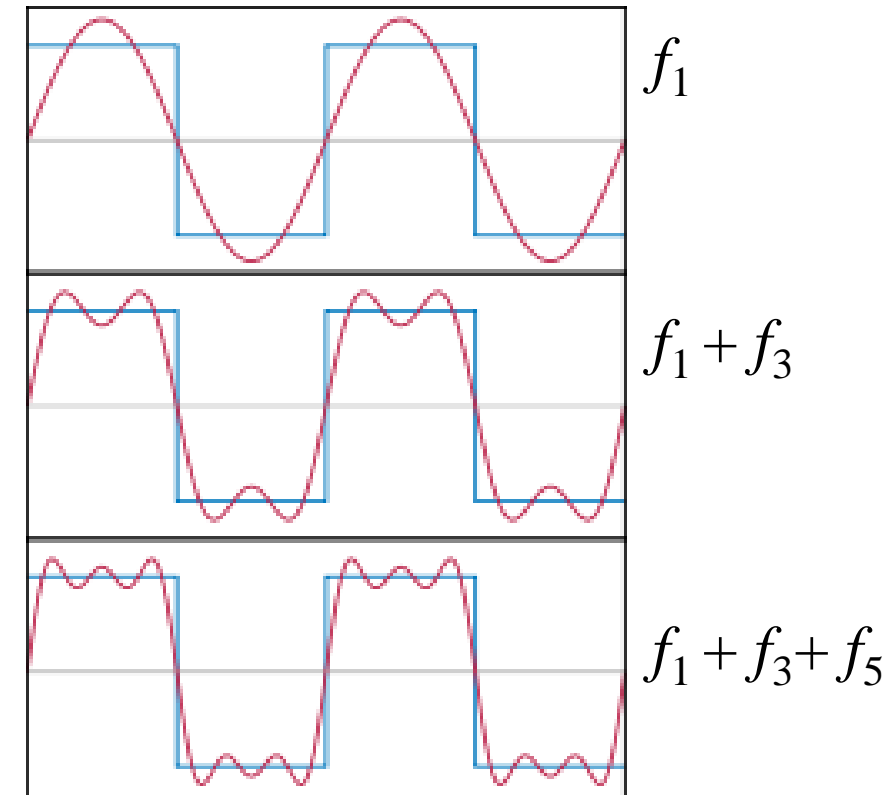
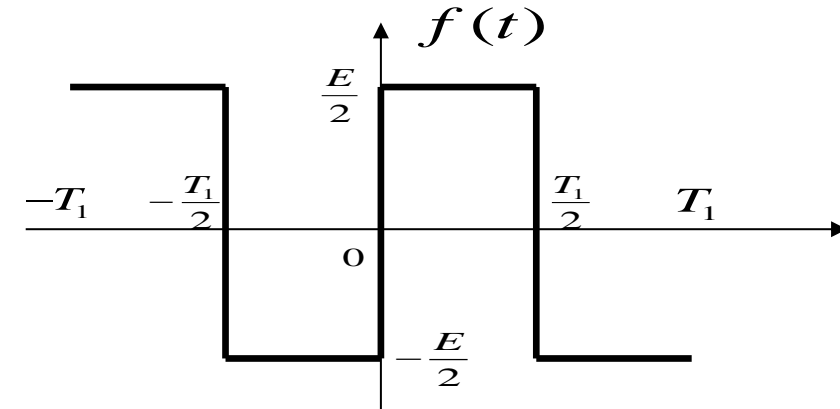
基波

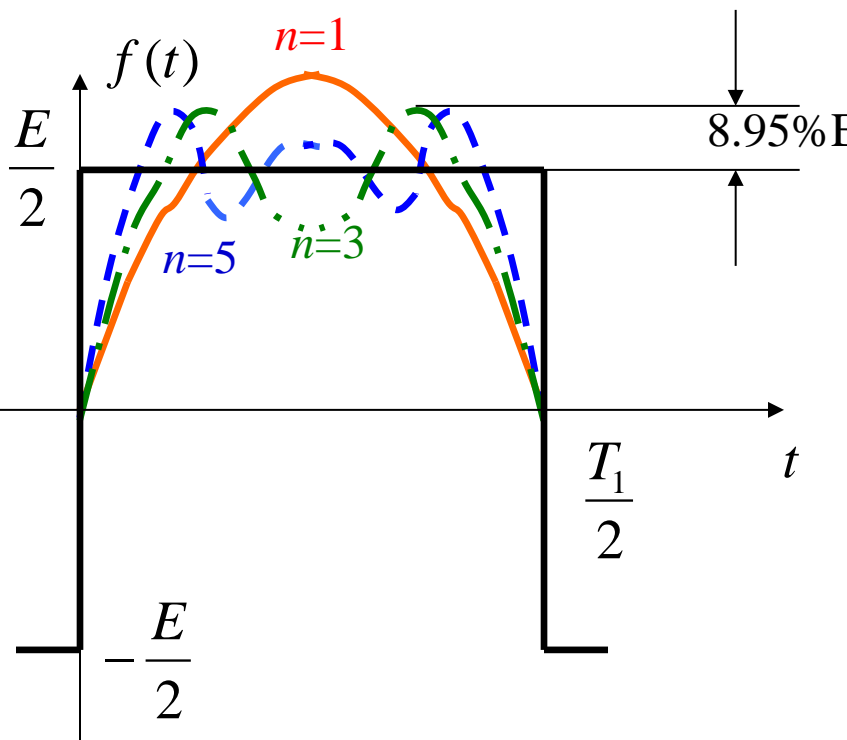
$$n=3: f(t) \approx \frac{2E}{\pi} \left(\sin \omega_1 t + \frac{1}{3} \sin 3\omega_1 t \right)$$

三次谐波

$$n=5: f(t) \approx \frac{2E}{\pi} \left(\sin \omega_1 t + \frac{1}{3} \sin 3\omega_1 t + \frac{1}{5} \sin 5\omega_1 t \right)$$

五次谐波





吉布斯现象：当选取的项数 N 很大时，峰起值趋于一个常数，约等于总跳变值的 9%，并从不连续点开始以起伏震荡的形式逐渐衰减下去。
高频分量主要影响脉冲的跳变沿，低频分量主要影响脉冲的顶部。

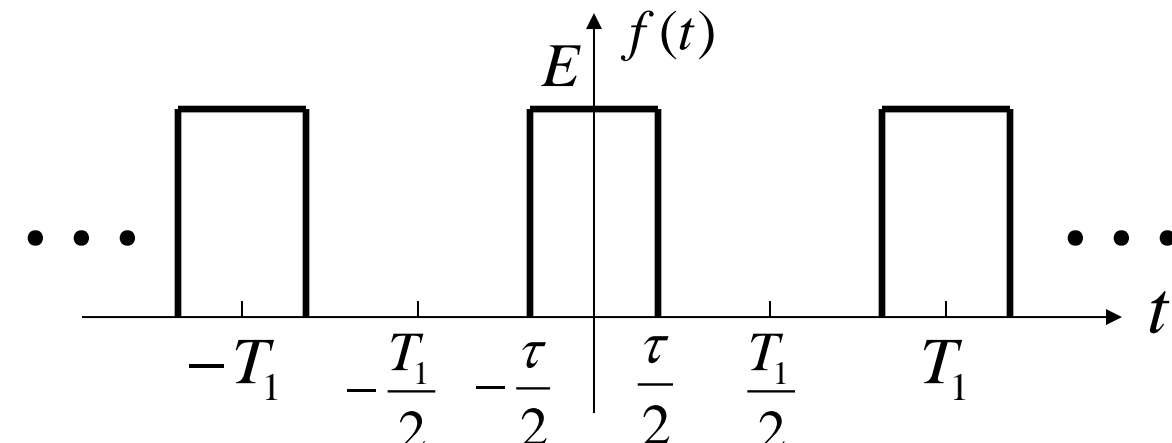
$f(t)$ 波形变化越剧烈，所包含的高频分量越丰富；
变化越缓慢，所包含的低频分量越丰富。

- 用有限项傅里叶级数表示有间断点的信号时，在间断点附近不可避免的会出现振荡和超调量。
- 超调量的幅度不会随所取项数的增加而减小。只是随着项数的增多，振荡频率变高，并向间断点处压缩，从而使它所占的能量减少。
- 当选取的项数很大时，该超调量趋于一个常数，大约等于总跳变值的 9%，并从间断点开始以起伏振荡的形式逐渐衰减下去。

3.3 典型周期信号的傅里叶级数

周期矩形脉冲信号

(1) 周期矩形脉冲信号的傅里叶级数

三要素：脉宽 τ 、脉幅 E 、周期 T_1  $b_n = 0$ (在偶函数的傅里叶级数中不会有正弦项)

$$a_0 = \frac{2}{T_1} \int_0^{\frac{T_1}{2}} f(t) dt = \frac{2}{T_1} \int_0^{\frac{\tau}{2}} Edt = \frac{E\tau}{T_1}$$

$$a_n = \frac{4}{T_1} \int_0^{\frac{T_1}{2}} f(t) \cos n\omega_1 t dt = \frac{4}{T_1} \int_0^{\frac{\tau}{2}} E \cos n\omega_1 t dt = \frac{2E\tau}{T_1} \text{Sa}\left(\frac{n\omega_1\tau}{2}\right) = c_n$$

周期矩形脉冲信号的三角形式傅里叶级数为

$$f(t) = \frac{E\tau}{T_1} + \frac{2E\tau}{T_1} \sum_{n=1}^{\infty} \text{Sa}\left(\frac{n\omega_1\tau}{2}\right) \cos n\omega_1 t$$

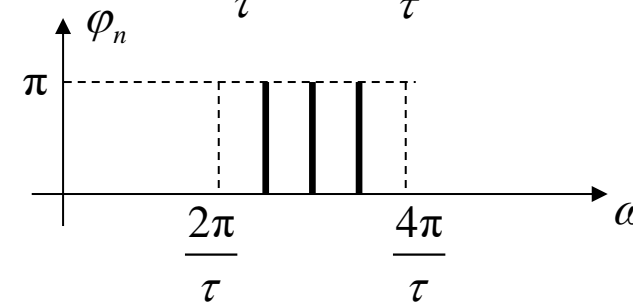
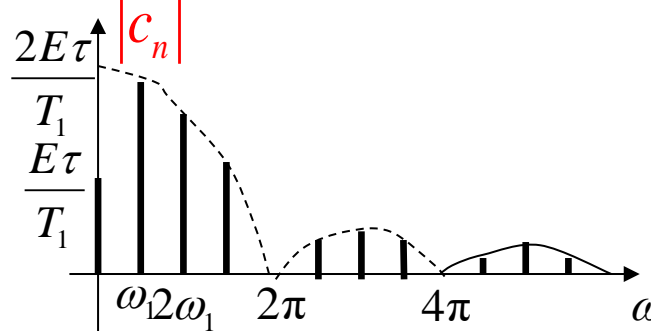
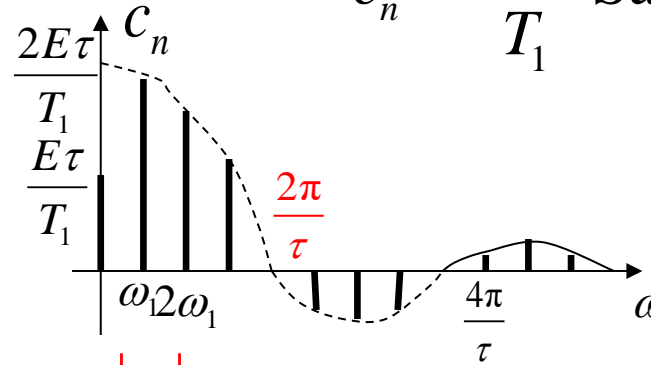
因为 $F_n = \frac{1}{2}(a_n - jb_n) = \frac{1}{2}a_n = \frac{E\tau}{T_1} \text{Sa}\left(\frac{n\omega_1\tau}{2}\right)$

$f(t)$ 的指数形式的傅里叶级数为

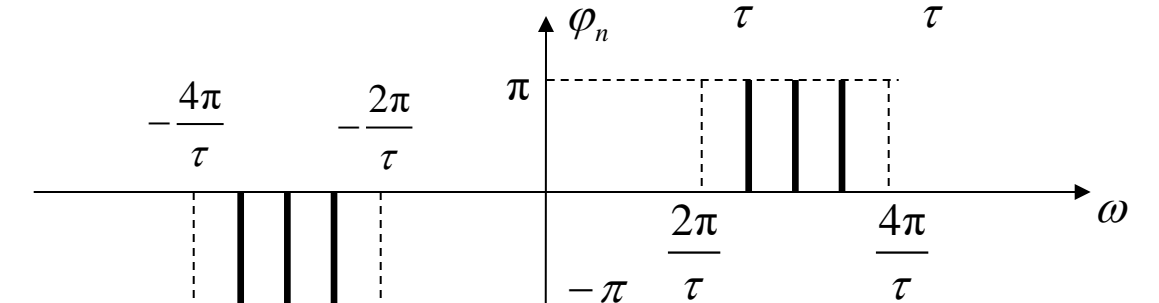
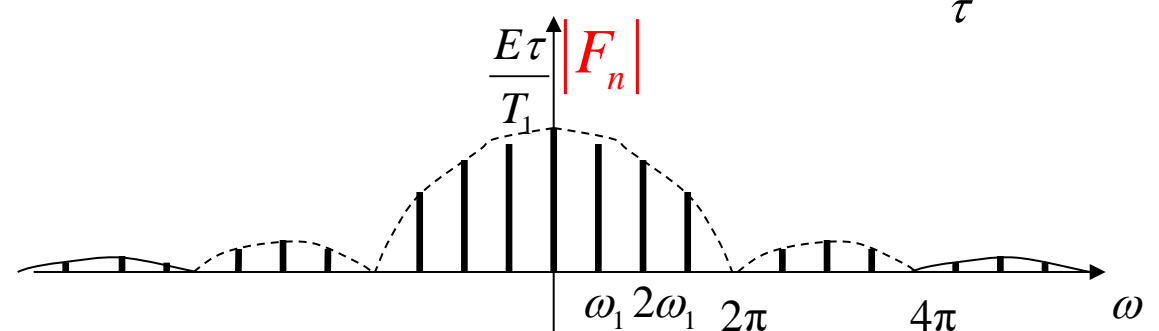
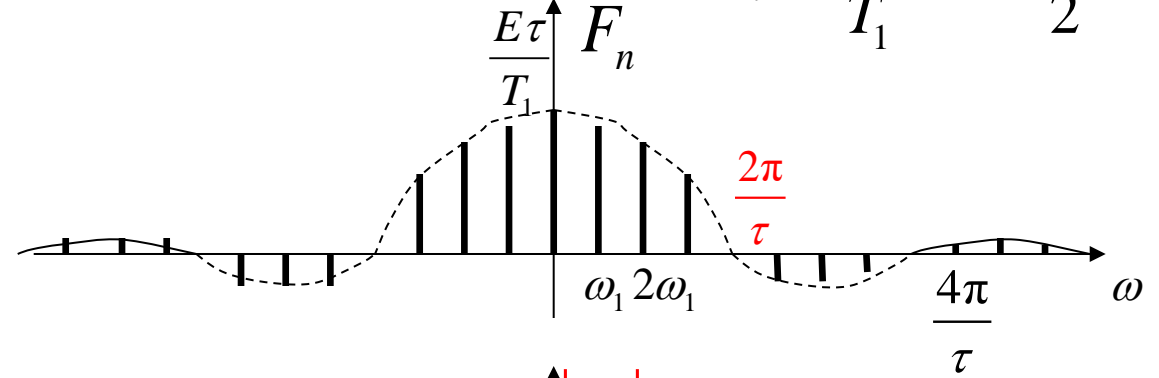
$$f(t) = \frac{E\tau}{T_1} \sum_{n=-\infty}^{\infty} \text{Sa}\left(\frac{n\omega_1\tau}{2}\right) e^{jn\omega_1 t}$$

(2) 频谱图

$$c_n = \frac{2E\tau}{T_1} \text{Sa}\left(\frac{n\omega_1\tau}{2}\right)$$



$$F_n = \frac{E\tau}{T_1} \text{Sa}\left(\frac{n\omega_1\tau}{2}\right)$$



❖ 周期信号频谱的有效带宽

在允许一定失真的条件下，信号可以用某段频率范围的信号来表示，此频率范围称为**频带宽度**

$0 \sim 2\pi / \tau$ 这段频率范围称为周期矩形脉冲信号的**有效频带宽度**

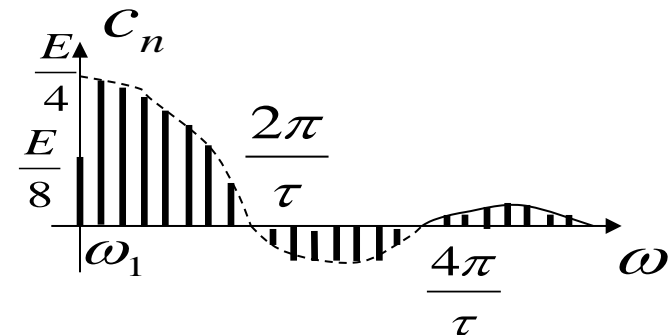
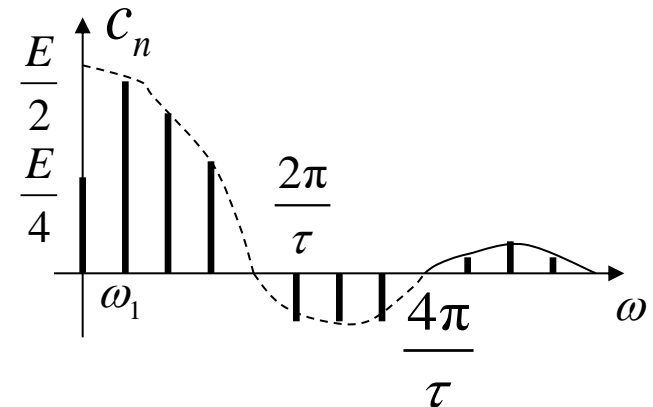
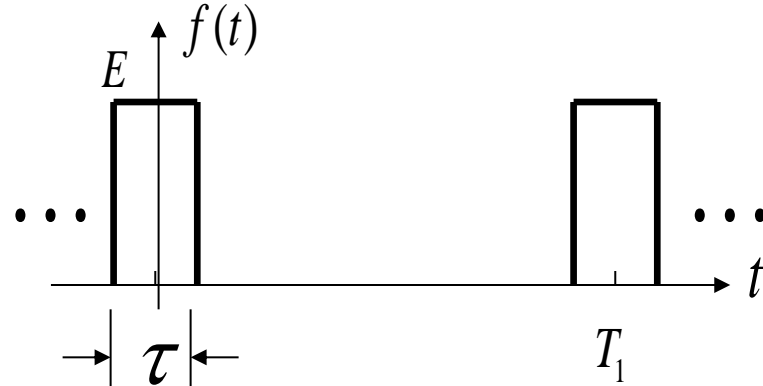
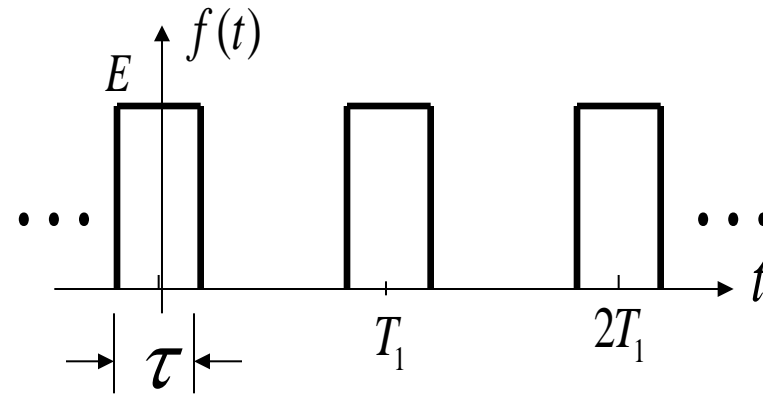
$$B = \frac{2\pi}{\tau} \quad \text{或} \quad B_f = \frac{1}{\tau} \quad \text{过第一零点}$$

信号的有效带宽 B 与 信号时域的持续时间 τ 成反比，即 τ 越大，其 B 越小；反之， τ 越小，其 B 越大。

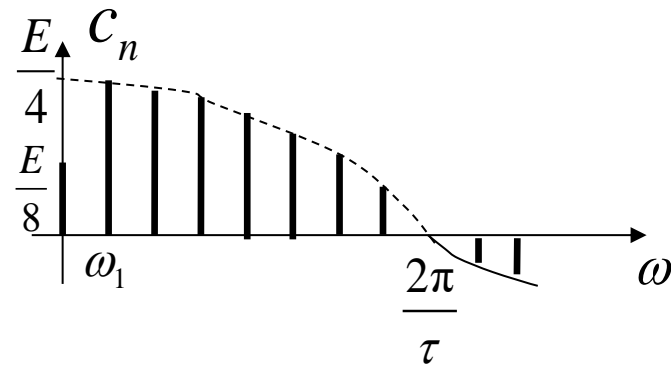
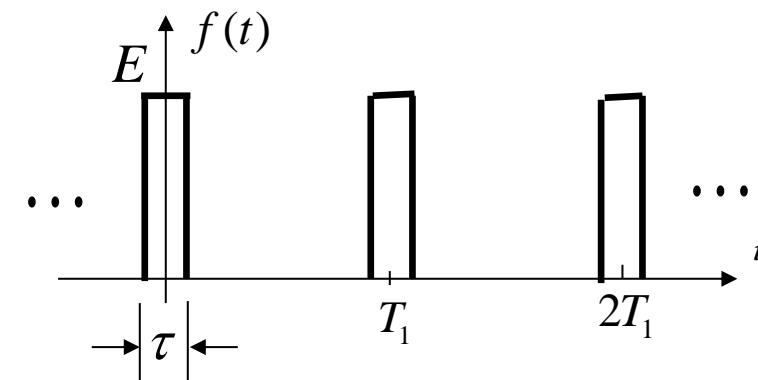
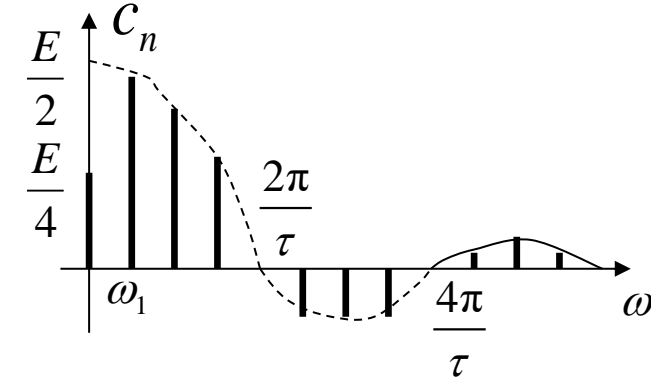
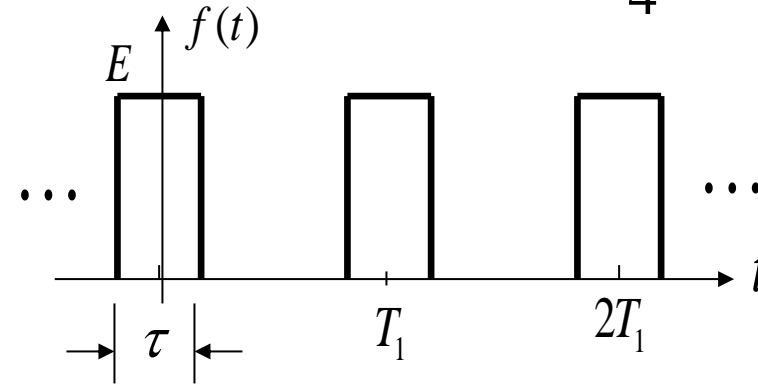
——在实际系统中频率越高（实际中 τ 和 T 有正比关系），带宽越大，传输速率越快。

(3) 频谱结构与波形参数的关系 (T_1, τ)

a) 若 τ 不变, T_1 扩大一倍, 即 $T_1 = 4\tau \rightarrow T_1 = 8\tau$



b) 若 T_1 不变, τ 减小一半, 即 $\tau = \frac{T_1}{4} \rightarrow \tau = \frac{T_1}{8}$



谱线间隔 $\omega_1 (= \frac{2\pi}{T_1})$ 只与周期 T_1 有关, 且与 T_1 成反比;

零值点频率 $\frac{2\pi}{\tau}$ 只与 脉冲宽度 τ 有关, 且与 τ 成反比;

谱线幅度 $\frac{2E\tau}{T_1}$ 与 T_1 和 τ 都有关系, 且与 T_1 成反比, 与 τ 成正比。

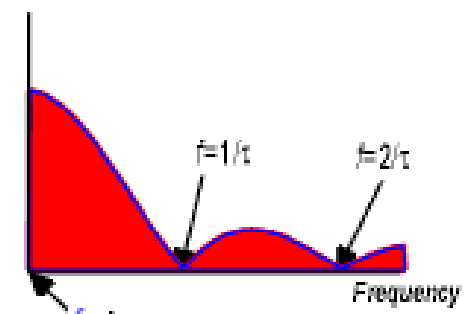
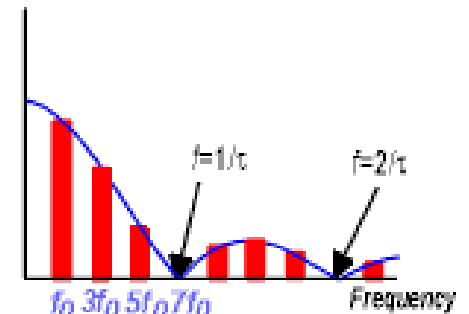
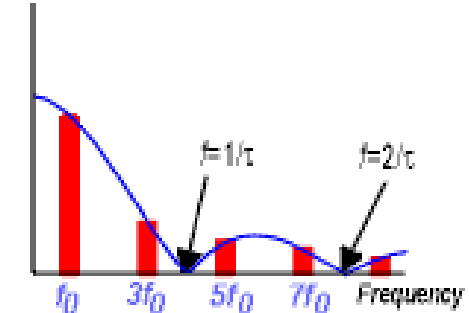
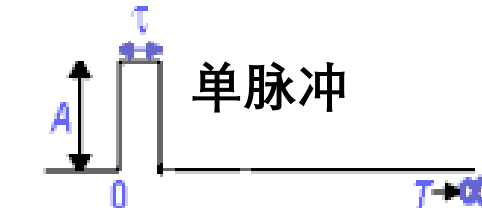
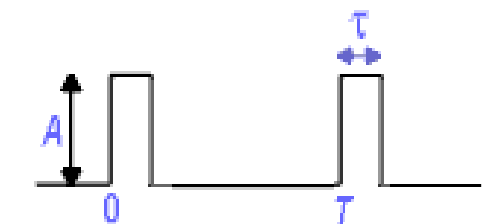
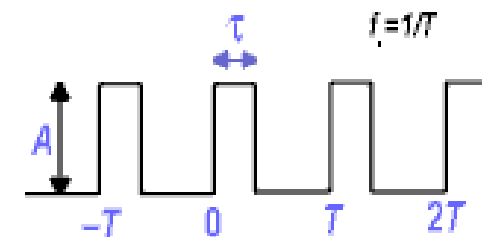
数据脉冲的频谱

当 T 增大时，谐波间距减小。

当 $T \rightarrow \infty$ ，即单脉冲时，频谱成为连续，被 $\text{Sa}(\pi t)$ 函数包络。

一个随机的数据序列由多个单脉冲组成，因此其频谱可由单脉冲的瞬时频谱层叠得到。频谱的包络也是 $\text{Sa}(\pi t)$ 函数。

重点强调：其它常用周期信号（锯齿脉冲、三角脉冲、半波余弦、全波余弦等）的傅里叶级数见教材 p392 附录二。



作 业

教材习题

基础题: 3-2, 3-3, 3-4, 3-5, 3-7 (a) (c) (e), 3-10 (1) (3) (5)

加强题: 3-7 (b) (d) (f), 3-10 (2) (4) (6), 3-11 (a), 3-12

傅里叶变换的视频链接:

<https://www.bilibili.com/video/av48286796>

第三章 傅里叶变换

- 3.1 引言
- 3.2 周期信号的傅里叶级数分析
- 3.3 典型周期信号的傅里叶级数
- 3.4 傅里叶变换**
- 3.5 典型非周期信号的傅里叶变换**
- 3.6 冲激函数和阶跃函数的傅里叶变换**
- 3.7 傅里叶变换的基本性质
- 3.8 卷积特性
- 3.9 周期信号的傅里叶变换
- 3.10 抽样信号的傅里叶变换
- 3.11 抽样定理

本次课内容

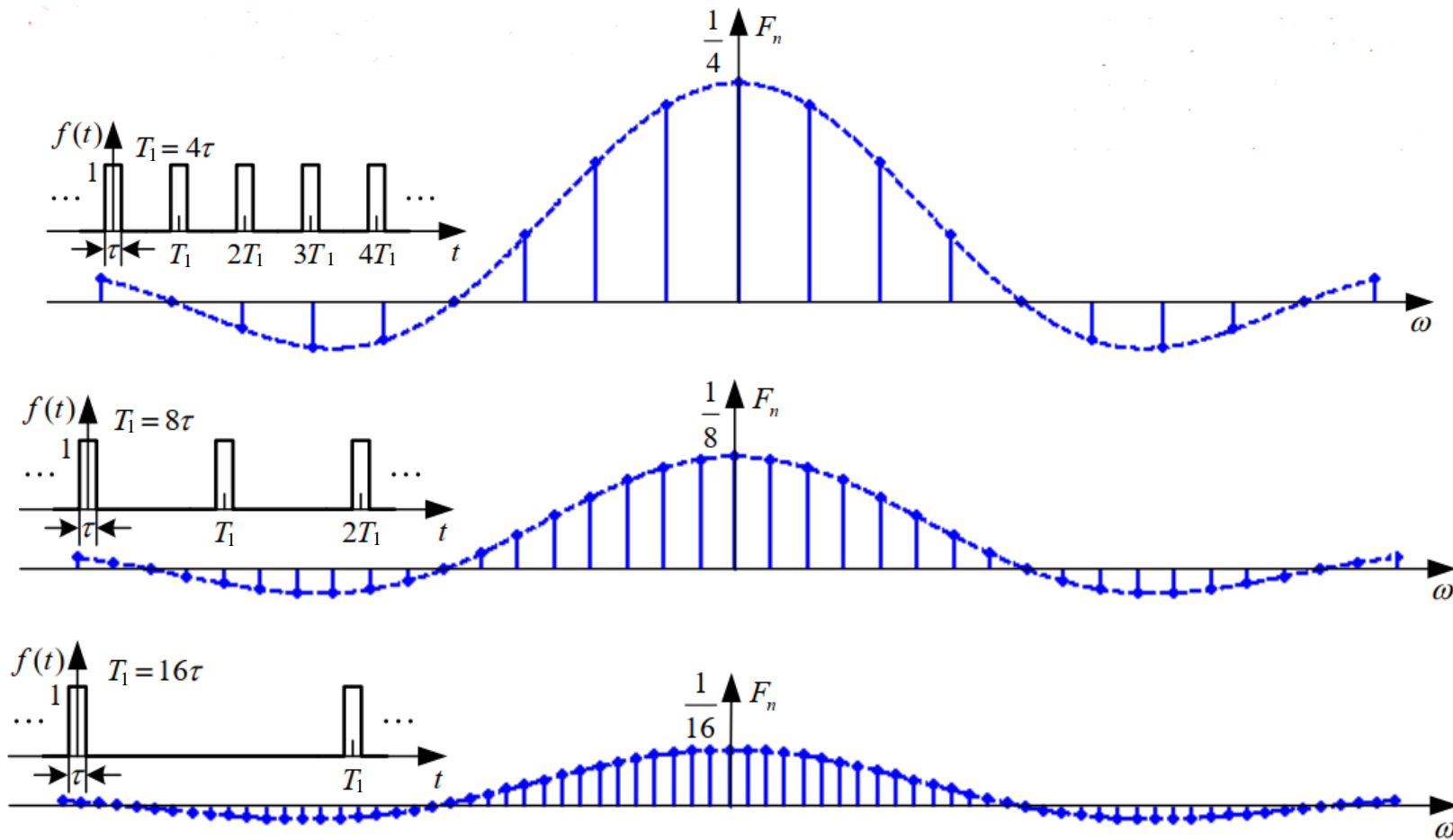
- 3.4 傅里叶变换
- 3.5 典型非周期信号的傅里叶变换
- 3.6 冲激函数和阶跃函数的傅里叶变换

本次课目标

1. 深入了解**傅里叶变换**和**傅里叶级数**的关联和区别；
2. 熟练掌握**典型非周期信号**、**冲激函数**和**阶跃函数**的傅里叶变换。

回忆：谱线结构与波形参数的关系

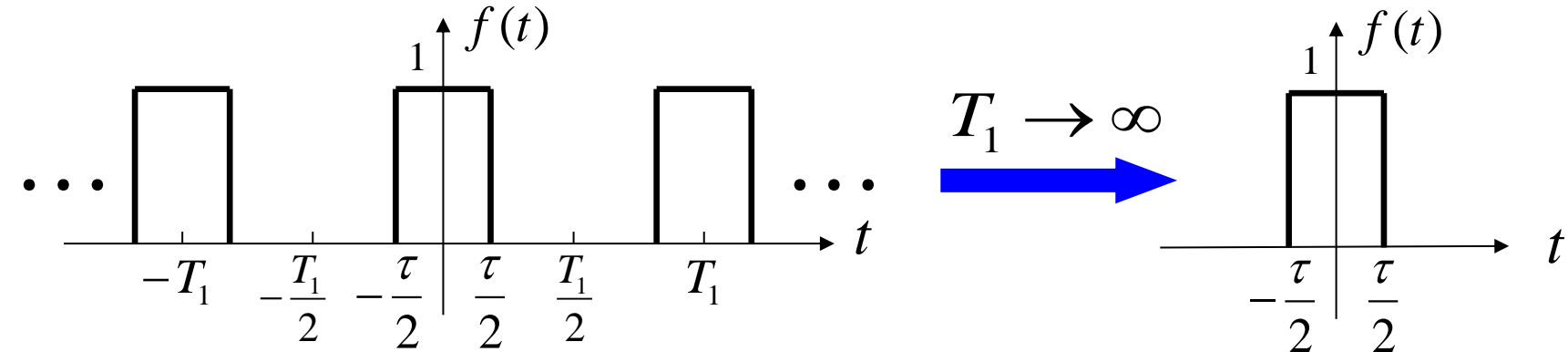
取 $E=1$, $F_n = \frac{\tau}{T_1} \text{Sa}\left(\frac{n\omega_1\tau}{2}\right)$, 假设脉冲宽度 τ 不变



周期: T_1 增大
幅值: $\frac{\tau}{T_1} \text{Sa}\left(\frac{n\omega_1\tau}{2}\right)$ 减小
谱线间隔: $\omega_1 = \frac{2\pi}{T_1}$ 减小

3.4 傅里叶变换

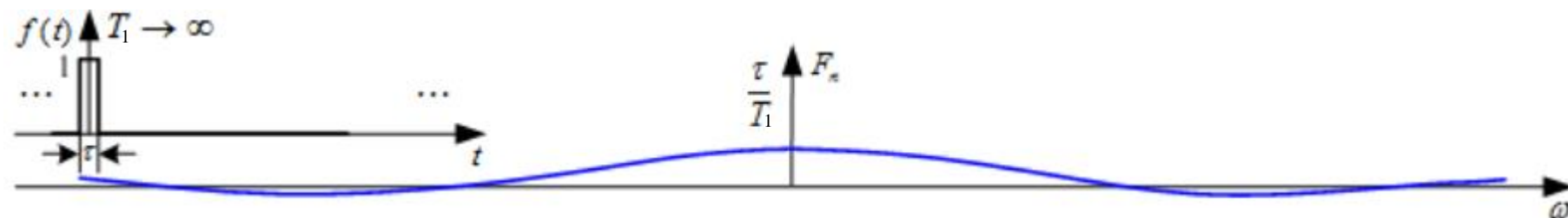
1. 傅里叶变换的引出



$T_1 \rightarrow \infty$ 时, $f(t)$: 周期信号 \rightarrow 非周期信号

谱线间隔 $\omega_1 = 2\pi/T_1 \rightarrow 0$, 谱线幅度 $\frac{\tau}{T_1} \text{Sa}(\frac{n\omega_1\tau}{2}) \rightarrow 0$,

周期信号的离散谱 \rightarrow 非周期信号的连续谱



1. 傅里叶变换的引出

$$F_n = \frac{1}{T_1} \int_{-\frac{T_1}{2}}^{\frac{T_1}{2}} f(t) e^{-jn\omega_1 t} dt$$

$T_1 \rightarrow \infty$ 时

各频率分量都不存在，无法分析

$f(t)$: 周期信号 \longrightarrow 非周期信号

F_n : 谱线幅度 \longrightarrow 趋于0, 无穷小

ω_1 : 谱线间隔 \longrightarrow 趋于0, 无穷小

离散频谱 \longrightarrow 连续频谱

虽然各频率分量的幅度趋近于无穷小，但无穷小量之间仍有相对大小差别，故需要引入新的频谱分析方法

1. 傅里叶变换的引出

$$F_n = \frac{1}{T_1} \int_{-\frac{T_1}{2}}^{\frac{T_1}{2}} f(t) e^{-jn\omega_1 t} dt$$

问题： $T_1 \rightarrow \infty$ 时，数学上，各分量都不存在，无法研究

但物理上，时域和频域能量守恒，所以一定存在频率分量



等式两边同时乘以 T_1

$$\lim_{T_1 \rightarrow \infty} F_n T_1 = \lim_{T_1 \rightarrow \infty} \int_{-\frac{T_1}{2}}^{\frac{T_1}{2}} f(t) e^{-jn\omega_1 t} dt = \lim_{\omega_1 \rightarrow 0} \frac{2\pi F_n}{\omega_1}$$

频谱密度函数：单位频率上的幅度



不趋于 0，有限值，能够分析

找到了非周期信号的频谱表达方法

1. 傅里叶变换的引出

$$F_n = \frac{1}{T_1} \int_{-\frac{T_1}{2}}^{\frac{T_1}{2}} f(t) e^{-jn\omega_1 t} dt$$

当 $T_1 \rightarrow \infty$ 时, 离散频率 $n\omega_1 \rightarrow$ 连续频率 ω

则 $\lim_{T_1 \rightarrow \infty} F_n T_1 = \lim_{T_1 \rightarrow \infty} \int_{-\frac{T_1}{2}}^{\frac{T_1}{2}} f(t) e^{-j n \omega_1 t} dt = \int_{-\infty}^{\infty} f(t) e^{-j \omega t} dt$ 这是一个关于 ω 的复函数

记为 $F(j\omega) = \int_{-\infty}^{\infty} f(t) e^{-j\omega t} dt$ Fourier Transform, FT

$F(j\omega)$ 称为 $f(t)$ 的傅里叶变换, 也称为其频谱函数

2. 傅里叶逆变换

指数傅里叶级数展开

$$f(t) = \sum_{n=-\infty}^{\infty} F_n e^{jn\omega_1 t} = \sum_{n=-\infty}^{\infty} F(n\omega_1) e^{jn\omega_1 t}$$

其中 $F(n\omega_1) = \frac{1}{T_1} \int_{-\frac{T_1}{2}}^{\frac{T_1}{2}} f(t) e^{-jn\omega_1 t} dt$

代入后得: $f(t) = \sum_{n=-\infty}^{\infty} \frac{1}{T_1} \left[\int_{-\frac{T_1}{2}}^{\frac{T_1}{2}} f(t) e^{-jn\omega_1 t} dt \right] e^{jn\omega_1 t}$

当 $T_1 \rightarrow \infty$ 时: $\omega_1 \rightarrow d\omega, n\omega_1 \rightarrow \omega, \frac{1}{T_1} = \frac{\omega_1}{2\pi} \rightarrow \frac{d\omega}{2\pi}, \sum_{n=-\infty}^{\infty} \rightarrow \int_{-\infty}^{\infty}$

$$f(t) = \frac{1}{2\pi} \int_{-\infty}^{\infty} \left[\int_{-\infty}^{\infty} f(t) e^{-j\omega t} dt \right] e^{j\omega t} d\omega = \frac{1}{2\pi} \int_{-\infty}^{\infty} F(j\omega) e^{j\omega t} d\omega$$

$$f(t) = \frac{1}{2\pi} \int_{-\infty}^{\infty} F(j\omega) e^{j\omega t} d\omega$$

$f(t)$ 称为 $F(j\omega)$ 的傅里叶逆变换, 也称为其原函数

2. 傅里叶逆变换——物理意义

$$f(t) = \frac{1}{2\pi} \int_{-\infty}^{\infty} F(\omega) e^{j\omega t} d\omega$$

实函数

$$F(\omega) = |F(\omega)| e^{j\varphi(\omega)}$$

$$= \frac{1}{2\pi} \int_{-\infty}^{\infty} |F(\omega)| e^{j\varphi(\omega)} e^{j\omega t} d\omega$$

欧拉公式

$$\text{偶函数} = \frac{1}{2\pi} \int_{-\infty}^{\infty} |F(\omega)| \cos[\omega t + \varphi(\omega)] d\omega$$

奇函数积分为 0

$$+ j \frac{1}{2\pi} \int_{-\infty}^{\infty} |F(\omega)| \sin[\omega t + \varphi(\omega)] d\omega$$

$$= \frac{1}{\pi} \int_0^{\infty} |F(\omega)| \cos[\omega t + \varphi(\omega)] d\omega$$

$$= \int_0^{\infty} \frac{|F(\omega)|}{\pi} d\omega \cos[\omega t + \varphi(\omega)]$$

和只有余弦项形式的傅里叶级数对比

2. 傅里叶逆变换——物理意义

$$\begin{aligned} f(t) &= \int_0^{\infty} \underbrace{\frac{|F(\omega)|}{\pi}}_{\text{振幅}} d\omega \cos[\omega t + \varphi(\omega)] \\ &= \lim_{\Delta\omega \rightarrow 0} \sum_{n=0}^{\infty} \underbrace{\frac{|F(n\Delta\omega)|}{\pi}}_{\text{振幅}} \Delta\omega \cos[n\Delta\omega t + \varphi(n\Delta\omega)] \end{aligned}$$

结论： $f(t)$ 为无穷多个振幅为 $\left(\frac{1}{\pi}|F(\omega)|d\omega\right)$ 无穷小的连续余弦信号之和，频谱范围 $0 \sim \infty$ 。

非周期信号也可表示为正弦信号的加权和，只是包含了零到无限高的所有频率分量。

加权和写为加权积分，权值表示频谱密度。

3. 傅里叶变换对

傅里叶变换式 “-”

$$F(j\omega) = \int_{-\infty}^{\infty} f(t)e^{-j\omega t} dt$$

傅里叶逆变换式 “+”

$$f(t) = \frac{1}{2\pi} \int_{-\infty}^{\infty} F(j\omega)e^{j\omega t} d\omega$$

简记为： $F(j\omega) = \mathcal{F}[f(t)]$

$$f(t) = \mathcal{F}^{-1}[F(j\omega)]$$

或 $f(t) \leftrightarrow F(j\omega)$

$$F(j\omega) = |F(j\omega)| e^{j\varphi(\omega)}$$

$|F(j\omega)|$ --**幅度谱** 频率 ω 的偶函数*

$\varphi(\omega)$ --**相位谱** 频率 ω 的奇函数*

与傅里叶级数的关系 (重点)

单个脉冲信号的傅里叶变换:

$$F_0(j\omega) = \int_{-\frac{T_1}{2}}^{\frac{T_1}{2}} f_0(t) e^{-j\omega t} dt \quad \text{-- } \omega \text{ 的连续谱}$$

周期信号的傅里叶级数展开:

$$f(t) = \sum_{n=-\infty}^{\infty} F_n e^{jn\omega_1 t}$$

级数展开的系数:

$$F_n = \frac{1}{T_1} \int_{-\frac{T_1}{2}}^{\frac{T_1}{2}} f(t) e^{-jn\omega_1 t} dt \quad \text{-- } \omega \text{ 的离散谱}$$

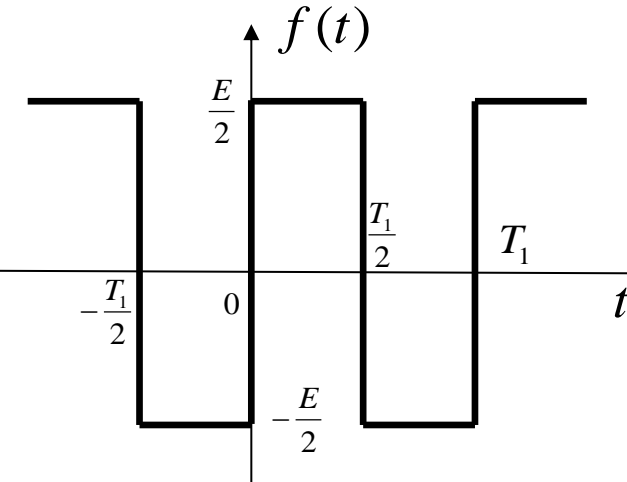
F_n 与 $F_0(j\omega)$ 的关系:

$$F_n = \left. \frac{F_0(j\omega)}{T_1} \right|_{\omega=n\omega_1}$$

→ 连续谱的离散化

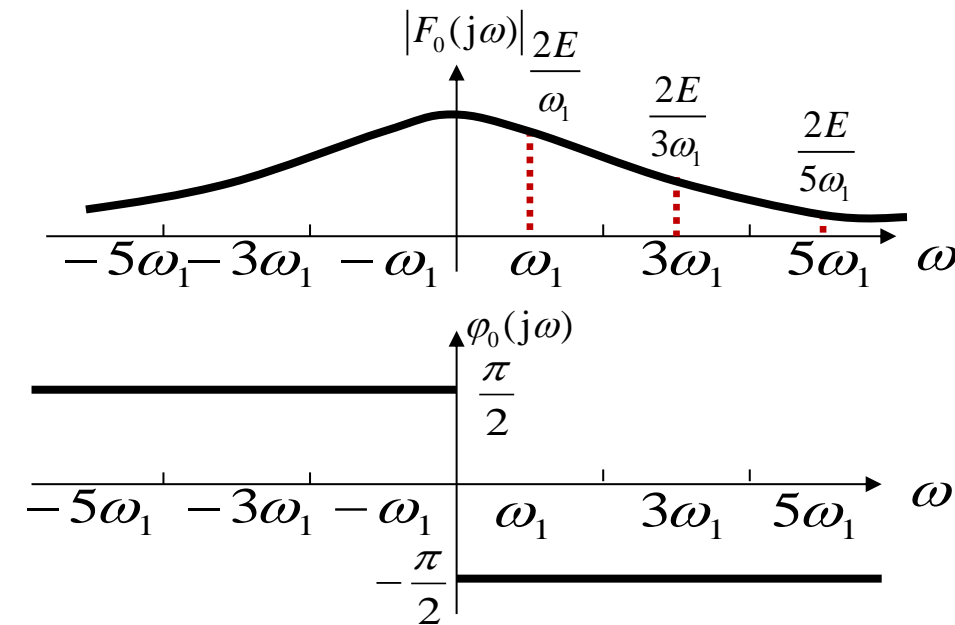
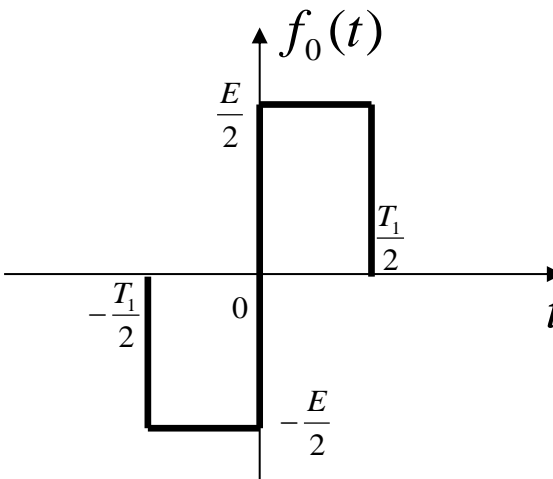
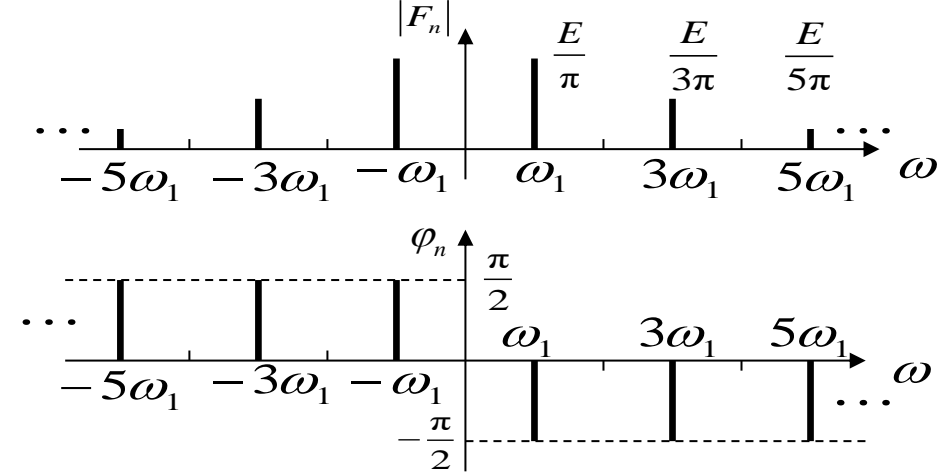
重要结论: 周期脉冲序列的傅里叶级数的系数 F_n 等于单脉冲的傅里叶变换 $F_0(j\omega)$ 在 $n\omega_1$ 频率点的值乘以周期的倒数 $1/T_1$ 。

看一个之前的例子：指数形式的傅里叶级数 画出频谱图



$$|F_n| = \frac{E}{|n|\pi} \quad (n = \pm 1, \pm 3, \pm 5 \dots)$$

$$\varphi_n = \begin{cases} -\frac{\pi}{2} & (n = 1, 3, 5 \dots) \\ \frac{\pi}{2} & (n = -1, -3, -5 \dots) \end{cases}$$



$$F_n = \left. \frac{F_0(j\omega)}{T_1} \right|_{\omega=n\omega_1} = \left. \frac{\omega_1 F_0(j\omega)}{2\pi} \right|_{\omega=n\omega_1}$$

$$= \left. \frac{\omega_1 \frac{2E}{j\omega}}{2\pi} \right|_{\omega=n\omega_1} = -\frac{jE}{n\pi}$$

与例3-1结论相同

傅里叶级数与傅里叶变换的关系 (重点中的重点) :

傅里叶级数

$$f(t) = \sum_{n=-\infty}^{+\infty} F_n e^{jn\omega_1 t}$$

$$F_n = \frac{1}{T_1} \int_{-T_1/2}^{T_1/2} f(t) e^{-jn\omega_1 t} dt$$

频谱 (离散)

$$F_n = |F_n| e^{j\varphi_n}$$

在一个周期内满足狄里赫利条件

傅里叶变换

$$f(t) = \frac{1}{2\pi} \int_{-\infty}^{+\infty} F(\omega) e^{j\omega t} d\omega$$

$$F_n = \frac{1}{T_1} F_0(\omega) \Big|_{\omega=n\omega_1}$$

$$F(\omega) = \int_{-\infty}^{+\infty} f(t) e^{-j\omega t} dt$$

← 量纲不同 →

频谱密度 (连续)

$$F(\omega) = |F(\omega)| e^{j\varphi(\omega)}$$

在 $(-\infty, +\infty)$ 内满足狄里赫利条件

傅里叶变换存在的条件

$$\int_{-\infty}^{\infty} |f(t)| dt = \text{有限值} \quad (\text{充分条件})$$

注意：与周期信号的傅里叶级数的条件对比

即 $f(t)$ 绝对可积

所有能量信号均满足此条件。 哪些信号不符合？

当引入 $\delta(\omega)$ 函数的概念后，允许做傅立叶变换的函数类型大大扩展了。

能量信号与功率信号 (教材 6.6)

设 $i(t)$ 为流过电阻 R 的电流, $v(t)$ 为 R 上的电压

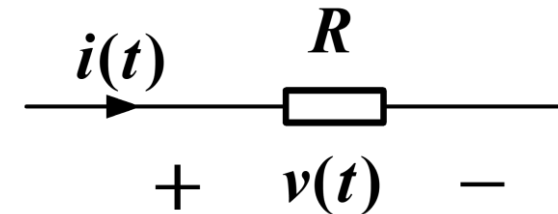
瞬时功率为 $p(t) = i^2(t)R$

在一个周期 T_0 内, R 消耗的能量

$$E = \int_{-\frac{T_0}{2}}^{\frac{T_0}{2}} p(t) dt = R \int_{-\frac{T_0}{2}}^{\frac{T_0}{2}} i^2(t) dt \quad \text{或} \quad E = \frac{1}{R} \int_{-\frac{T_0}{2}}^{\frac{T_0}{2}} v^2(t) dt$$

平均功率可表示为

$$P = \frac{1}{T_0} R \int_{-\frac{T_0}{2}}^{\frac{T_0}{2}} i^2(t) dt \quad \text{或} \quad P = \frac{1}{T_0} \frac{1}{R} \int_{-\frac{T_0}{2}}^{\frac{T_0}{2}} v^2(t) dt$$



能量信号与功率信号

将信号 $f(t)$ 施加于 1Ω 电阻上，它所消耗的瞬时功率为 $|f(t)|^2$ ，在区间 $(-\infty, \infty)$ 的能量和平均功率定义为

$$E \stackrel{\text{def}}{=} \int_{-\infty}^{\infty} |f(t)|^2 dt$$

$$P \stackrel{\text{def}}{=} \lim_{T \rightarrow \infty} \frac{1}{T} \int_{-\frac{T}{2}}^{\frac{T}{2}} |f(t)|^2 dt$$

能量有限信号：信号的能量 $E < \infty$ ，简称能量信号，此时平均功率 $P = 0$ 。

功率有限信号：信号的功率 $P < \infty$ ，简称功率信号，此时信号能量 $E = \infty$ 。

能量信号与功率信号

一般规律

- ① 周期信号为功率信号，一定不是能量信号。
- ② 时间有限信号，为能量信号，平均功率为 0。
- ③ 非周期信号可能是能量信号，也可能是功率信号。
- ④ 有的信号既不是能量信号，也不是功率信号，如 e^t 。

如 $u(t)$ 是功率信号；

而 $tu(t)$ 为非功率非能量信号；

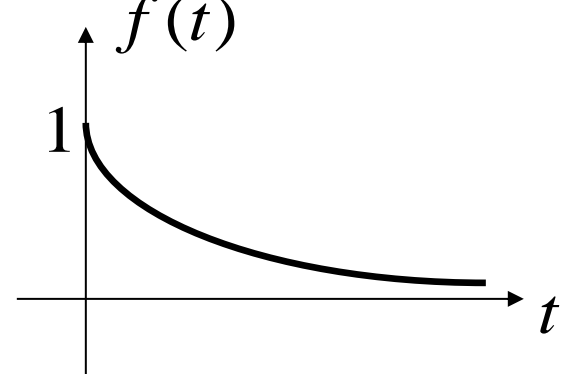
$\delta(t)$ 是无定义的非功率非能量信号。

3.5 典型非周期信号的傅里叶变换

1. 单边指数信号

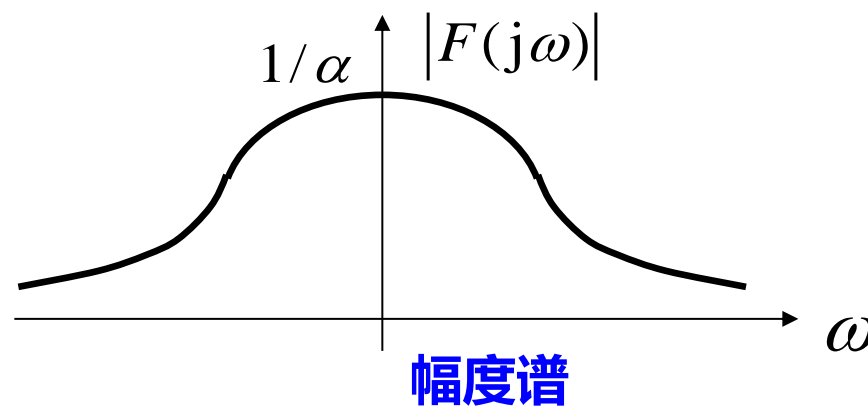
$$f(t) = \begin{cases} e^{-\alpha t} & t > 0 \\ 0 & t < 0 \end{cases} = e^{-\alpha t} u(t)$$

$$F(j\omega) = \int_{-\infty}^{\infty} f(t) e^{-j\omega t} dt = \int_0^{\infty} e^{-\alpha t} e^{-j\omega t} dt = \frac{1}{\alpha + j\omega}$$

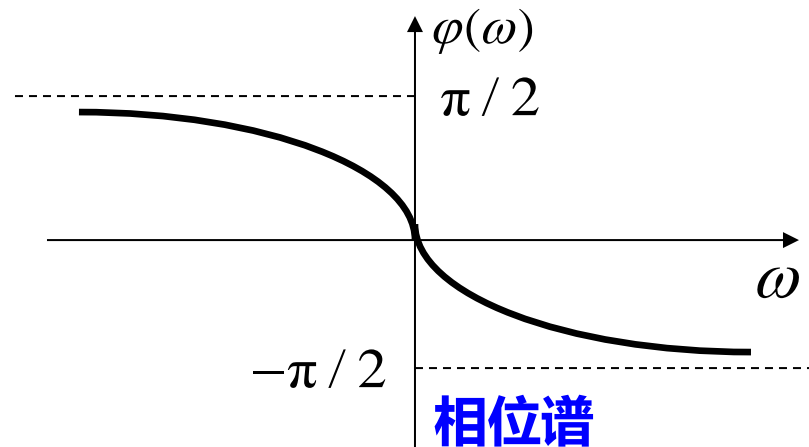


$$e^{-\alpha t} u(t) \leftrightarrow \frac{1}{\alpha + j\omega}$$

$$|F(j\omega)| = \frac{1}{\sqrt{\alpha^2 + \omega^2}}$$



$$\varphi(\omega) = -\arctan\left(\frac{\omega}{\alpha}\right)$$



频谱函数 $F(j\omega) = \frac{1}{j\omega + 2}$ 的傅里叶逆变换为:

A

$$e^{-2t}u(t)$$

B

$$te^{-2t}u(t)$$

C

$$e^{-0.5t}u(t)$$

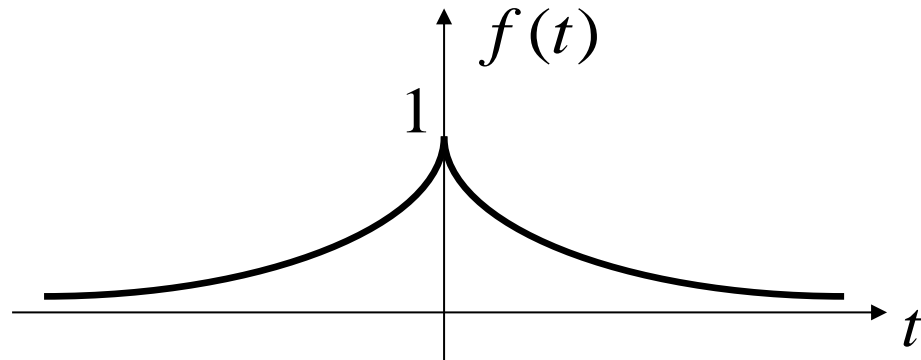
D

$$te^{2t}u(t)$$

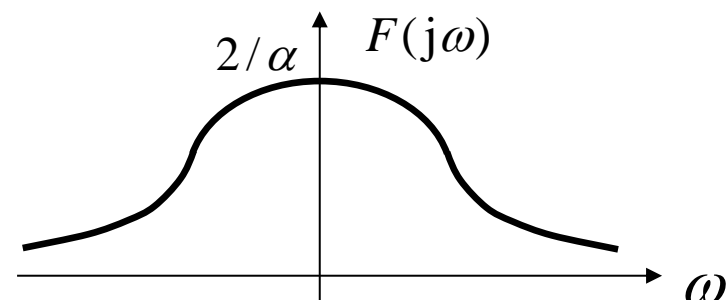
提交

2. 双边指数信号

$$f(t) = e^{-\alpha|t|}$$



$$\begin{aligned} F(j\omega) &= \int_{-\infty}^{\infty} f(t)e^{-j\omega t} dt = \int_{-\infty}^{\infty} e^{-\alpha|t|}e^{-j\omega t} dt \\ &= \int_{-\infty}^0 e^{\alpha t} e^{-j\omega t} dt + \int_0^{\infty} e^{-\alpha t} e^{-j\omega t} dt \\ &= \frac{1}{\alpha - j\omega} + \frac{1}{\alpha + j\omega} = \frac{2\alpha}{\alpha^2 + \omega^2} \end{aligned}$$



幅度谱 $|F(j\omega)| = \frac{2\alpha}{\alpha^2 + \omega^2}$

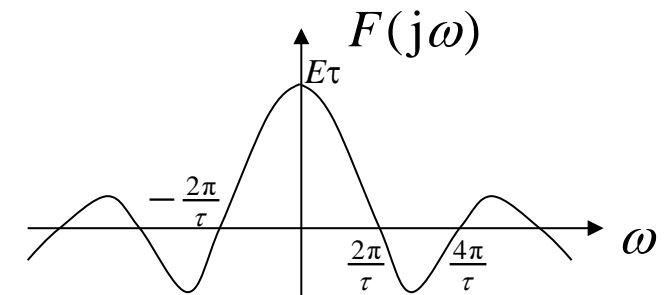
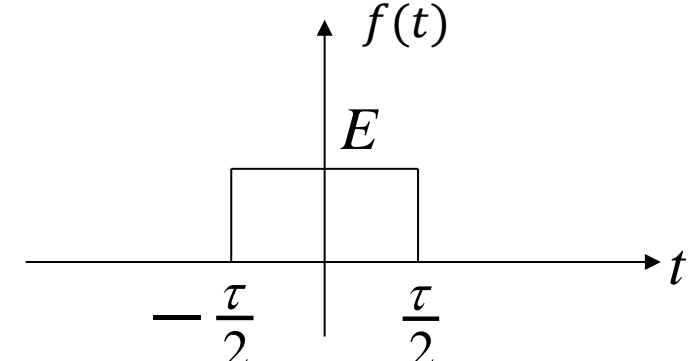
相位谱 $\varphi(\omega) = 0$

3. 矩形脉冲信号

$$f(t) = E[u(t + \frac{\tau}{2}) - u(t - \frac{\tau}{2})]$$

矩形脉冲信号满足绝对可积，可直接通过积分变换公式求其傅里叶变换。

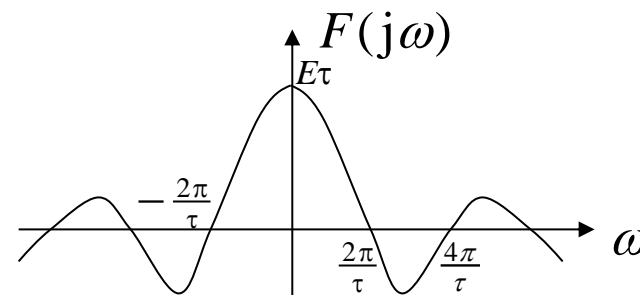
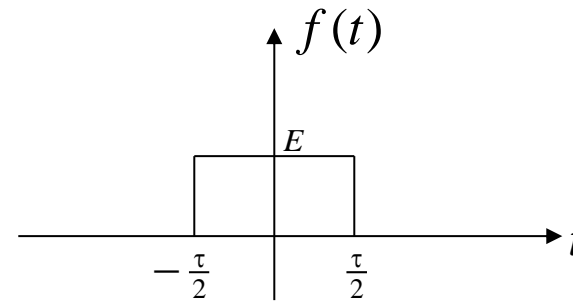
$$\begin{aligned} F(j\omega) &= \int_{-\infty}^{\infty} f(t) e^{-j\omega t} dt = \int_{-\frac{\tau}{2}}^{\frac{\tau}{2}} E e^{-j\omega t} dt = E \frac{1}{-j\omega} e^{-j\omega t} \Big|_{-\frac{\tau}{2}}^{\frac{\tau}{2}} \\ &= E \frac{e^{-j\omega\frac{\tau}{2}} - e^{j\omega\frac{\tau}{2}}}{-j\omega} = 2E \frac{\sin(\omega\frac{\tau}{2})}{\omega} = E\tau \text{Sa}(\omega\frac{\tau}{2}) \end{aligned}$$



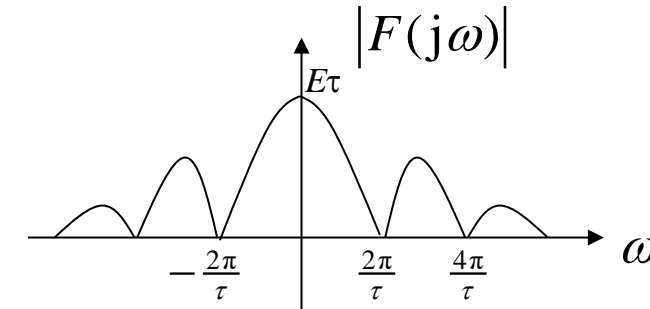
由频谱图可见，信号的能量主要集中在主瓣所包含的频率范围之内： $0 \sim 2\pi/\tau$ 所以习惯上称此频段范围是矩形波的**频带宽度** B_ω 。

$$B_\omega = \frac{2\pi}{\tau}$$

$$E \left[u\left(t + \frac{\tau}{2}\right) - u\left(t - \frac{\tau}{2}\right) \right] \xleftrightarrow{FT} E\tau \text{Sa}\left(\frac{\omega\tau}{2}\right)$$

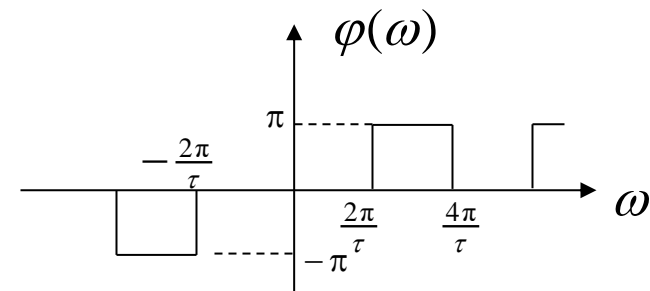


幅度谱



偶函数

相位谱



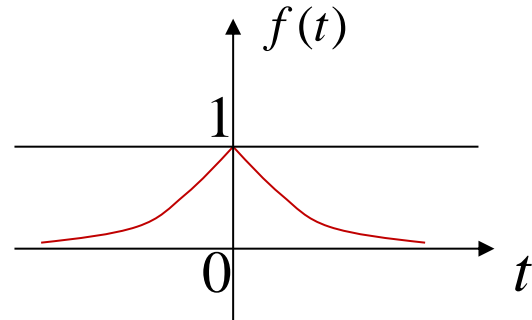
奇函数

时域有限，频域无限
频域有限，时域无限

4. 直流信号

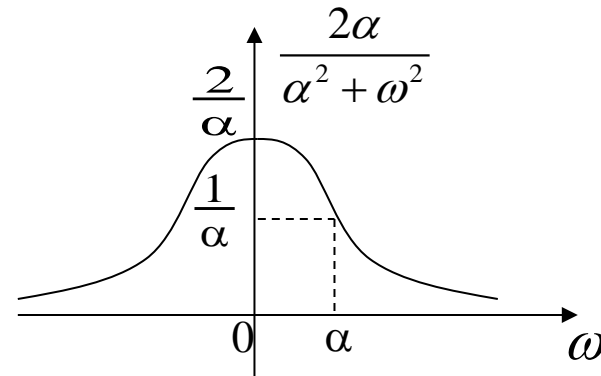
表示直流信号的函数是一常量，这里设常量为 1。显然，它不满足绝对可积的条件，不能由积分直接求得其傅里叶变换。

$$f(t) = 1 = \lim_{\alpha \rightarrow 0} e^{-\alpha|t|}$$



由偶对称双边指数信号的傅里叶变换

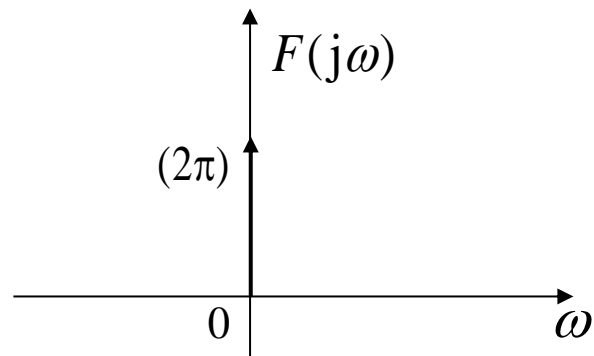
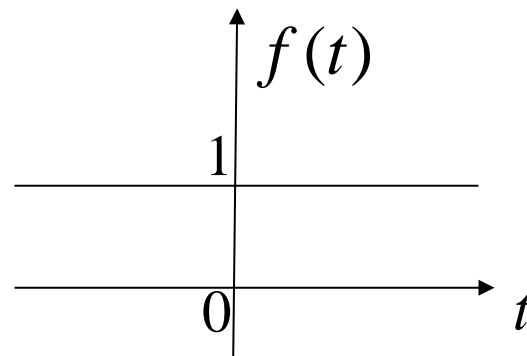
$$F(j\omega) = \lim_{\alpha \rightarrow 0} \frac{2\alpha}{\alpha^2 + \omega^2}$$



此频谱函数的波形当 $\alpha \rightarrow 0$ ，其宽度趋于无穷小，幅度趋于无穷大，是一个冲激信号 $A\delta(\omega)$ 。幅度 A 等于 $F(j\omega)$ 所占的面积。

$$A = \int_{-\infty}^{\infty} \frac{2\alpha}{\alpha^2 + \omega^2} d\omega = 4 \int_0^{\infty} \frac{\alpha}{\alpha^2 + \omega^2} d\omega = 4[\arctan(\infty) - \arctan(0)] = 2\pi$$

$$F(j\omega) = \lim_{\alpha \rightarrow 0} \frac{2\alpha}{\alpha^2 + \omega^2} = 2\pi\delta(\omega)$$



再次强调：

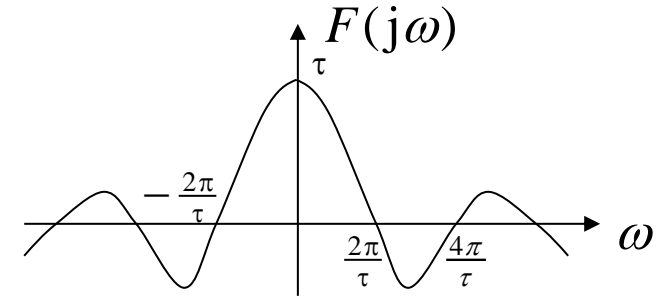
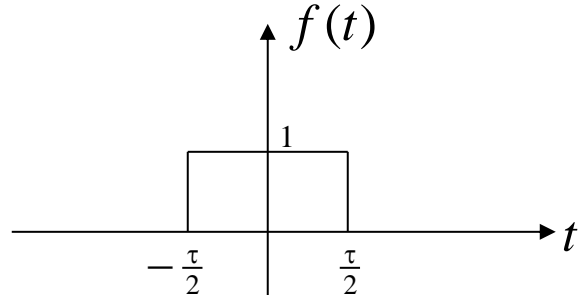
时域有限、频域无限

频域有限、时域无限

此结果也可通过幅度为1，宽度为 τ 的矩形脉冲的傅里叶变换，取 $\tau \rightarrow \infty$ 得到。

$$F(j\omega) = \lim_{\tau \rightarrow \infty} \tau \text{Sa}\left(\omega \frac{\tau}{2}\right)$$

$$\int_{-\infty}^{\infty} \text{Sa}(x) dx = \pi$$

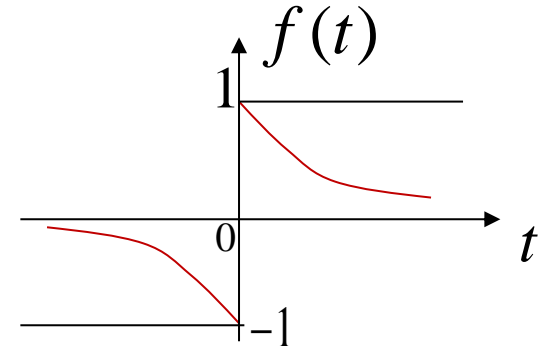


所以 $\int_{-\infty}^{\infty} \tau \text{Sa}\left(\omega \frac{\tau}{2}\right) d\omega = 2 \int_{-\infty}^{\infty} \text{Sa}\left(\omega \frac{\tau}{2}\right) d\left(\omega \frac{\tau}{2}\right) = 2\pi$

于是 $1 \xleftrightarrow{FT} 2\pi\delta(\omega)$ 若用公式表示即是 $\int_{-\infty}^{\infty} 1 \cdot e^{-j\omega t} dt = 2\pi\delta(\omega)$

5. 符号函数信号

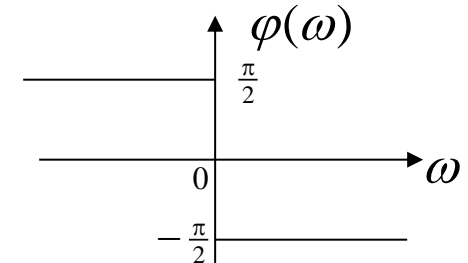
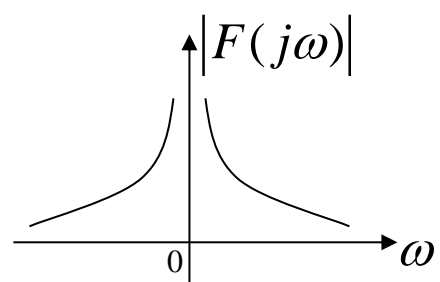
$$f(t) = \operatorname{sgn}(t) = \begin{cases} -1 & (t < 0) \\ 1 & (t > 0) \end{cases}$$



符号函数信号也不满足绝对可积的条件，不能由积分直接求得其傅里叶变换。但可以由奇对称双边指数信号的傅里叶变换，取 $\alpha \rightarrow 0$ 求得。

$$f(t) = \operatorname{sgn}(t) = \lim_{\alpha \rightarrow 0} [-e^{\alpha t} u(-t) + e^{-\alpha t} u(t)]$$

$$\text{于是 } F(j\omega) = \lim_{\alpha \rightarrow 0} \frac{-2j\omega}{\alpha^2 + \omega^2} = -j \frac{2}{\omega} = \frac{2}{j\omega}$$



幅度谱 $|F(j\omega)| = \frac{2}{|\omega|}$

相位谱 $\phi(\omega) = \begin{cases} -\pi/2 & (\omega > 0) \\ \pi/2 & (\omega < 0) \end{cases}$

傅里叶变换表 (几种常用函数及其频谱; *重要)

名称	时间函数	频谱函数
*单位冲激	$\delta(t)$	1
*单位阶跃	$u(t)$	$\pi\delta(\omega) + 1/j\omega$
符号函数	$\text{sgn } t = u(t) - u(-t)$	$2/(j\omega)$
*单位直流	1	$2\pi\delta(\omega)$
*单边指数函数	$e^{-\alpha t}u(t)$	$1/(\alpha + j\omega)$
双边指数函数	$e^{-\alpha t }$	$2\alpha/(\alpha^2 + \omega^2)$
*单位余弦	$\cos \omega_c t$	$\pi[\delta(\omega + \omega_c) + \delta(\omega - \omega_c)]$
*单位正弦	$\sin \omega_c t$	$j\pi[\delta(\omega + \omega_c) - \delta(\omega - \omega_c)]$
*矩形脉冲 (门函数)	$G_\tau(t) = u\left(t + \frac{\tau}{2}\right) - u\left(t - \frac{\tau}{2}\right)$	$\tau \text{Sa}\left(\frac{\tau\omega}{2}\right) = \tau \frac{\sin(\tau\omega/2)}{\tau\omega/2}$
*抽样函数	$\text{Sa}\left(\frac{\Omega t}{2}\right) = \frac{\sin(\Omega t/2)}{\Omega t/2}$	$G_\Omega(\omega) = \frac{2\pi}{\Omega} \left[u\left(\omega + \frac{\Omega}{2}\right) - u\left(\omega - \frac{\Omega}{2}\right) \right]$

试求信号 $f(t) = 1 + 2 \cos t$ 的傅里叶变换。

- A $F(\omega) = \delta(\omega) + 2\pi[\delta(\omega - 1) + \delta(\omega + 1)]$
- B $F(\omega) = 2\pi\delta(\omega) + \delta(\omega - 1) + \delta(\omega + 1)$
- C $F(\omega) = \delta(\omega) + \delta(\omega - 1) + \delta(\omega + 1)$
- D $F(\omega) = 2\pi[\delta(\omega) + \delta(\omega - 1) + \delta(\omega + 1)]$

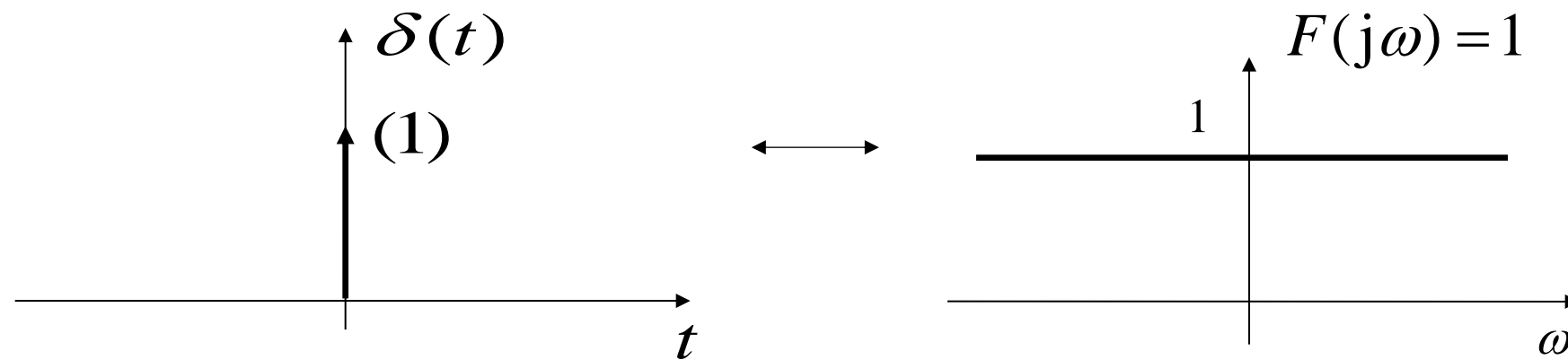
 提交

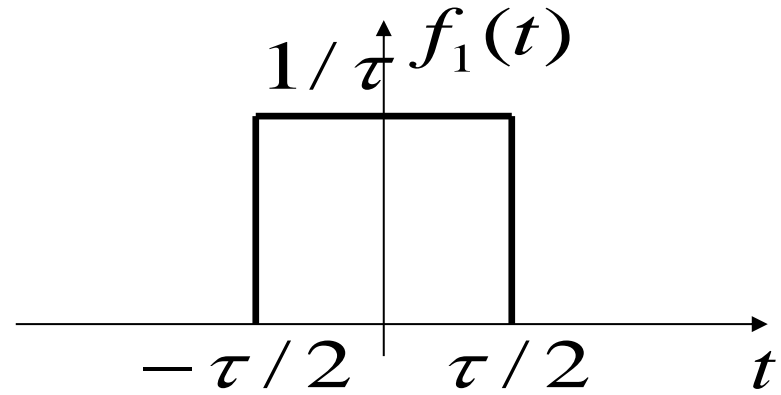
3.6 冲激函数和阶跃函数的傅里叶变换

(1) 冲激函数的傅里叶变换

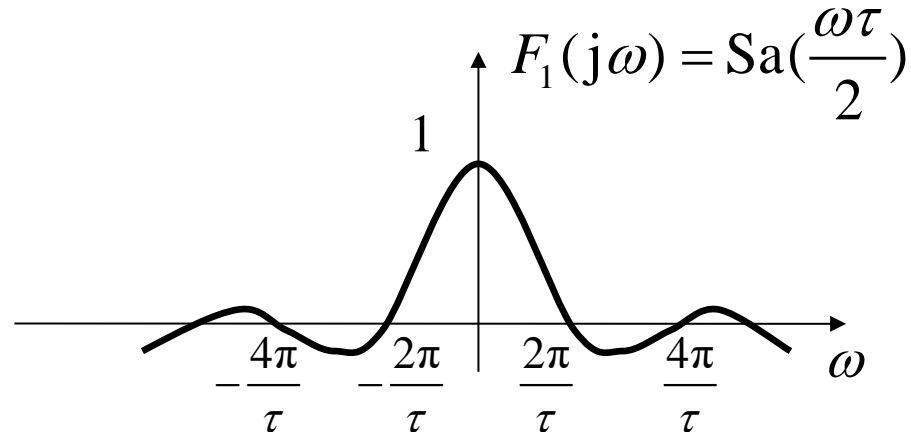
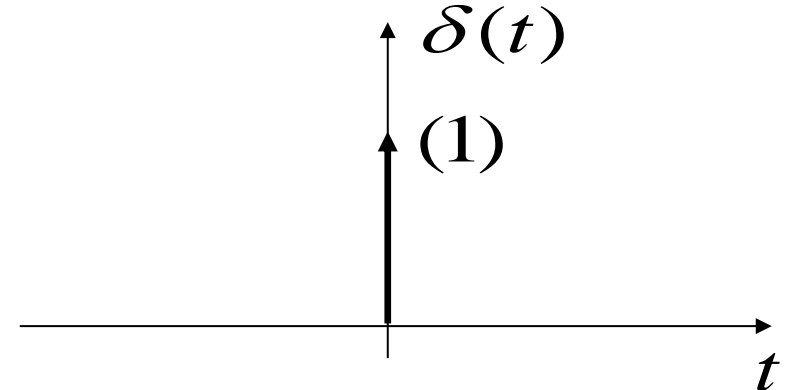
$$F(j\omega) = \int_{-\infty}^{\infty} \delta(t) e^{-j\omega t} dt = 1$$

单位冲激函数的频谱等于常数，即在整个频率范围内频谱是均匀的。这种频谱常被叫做“均匀谱”或“白色频谱”。

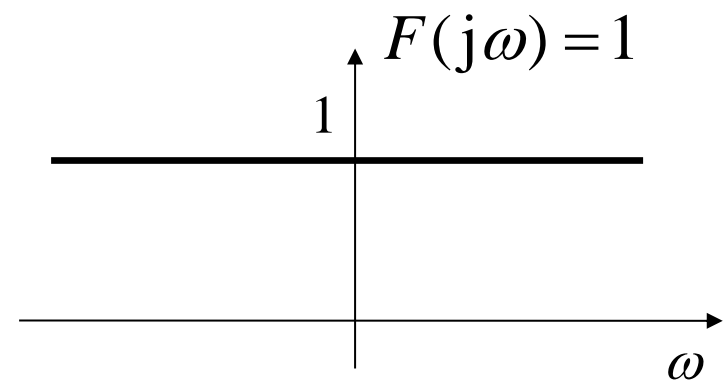




$\tau \rightarrow 0$



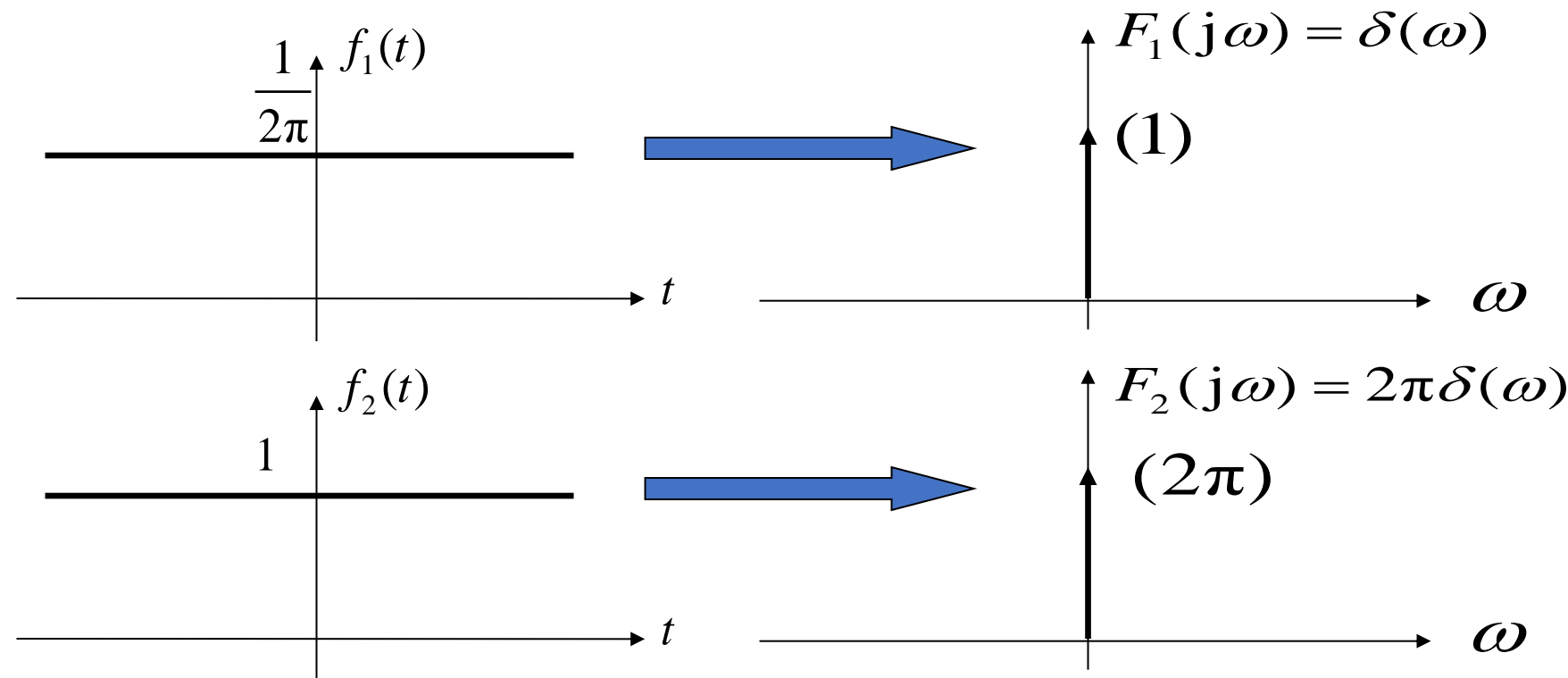
$\tau \rightarrow 0$

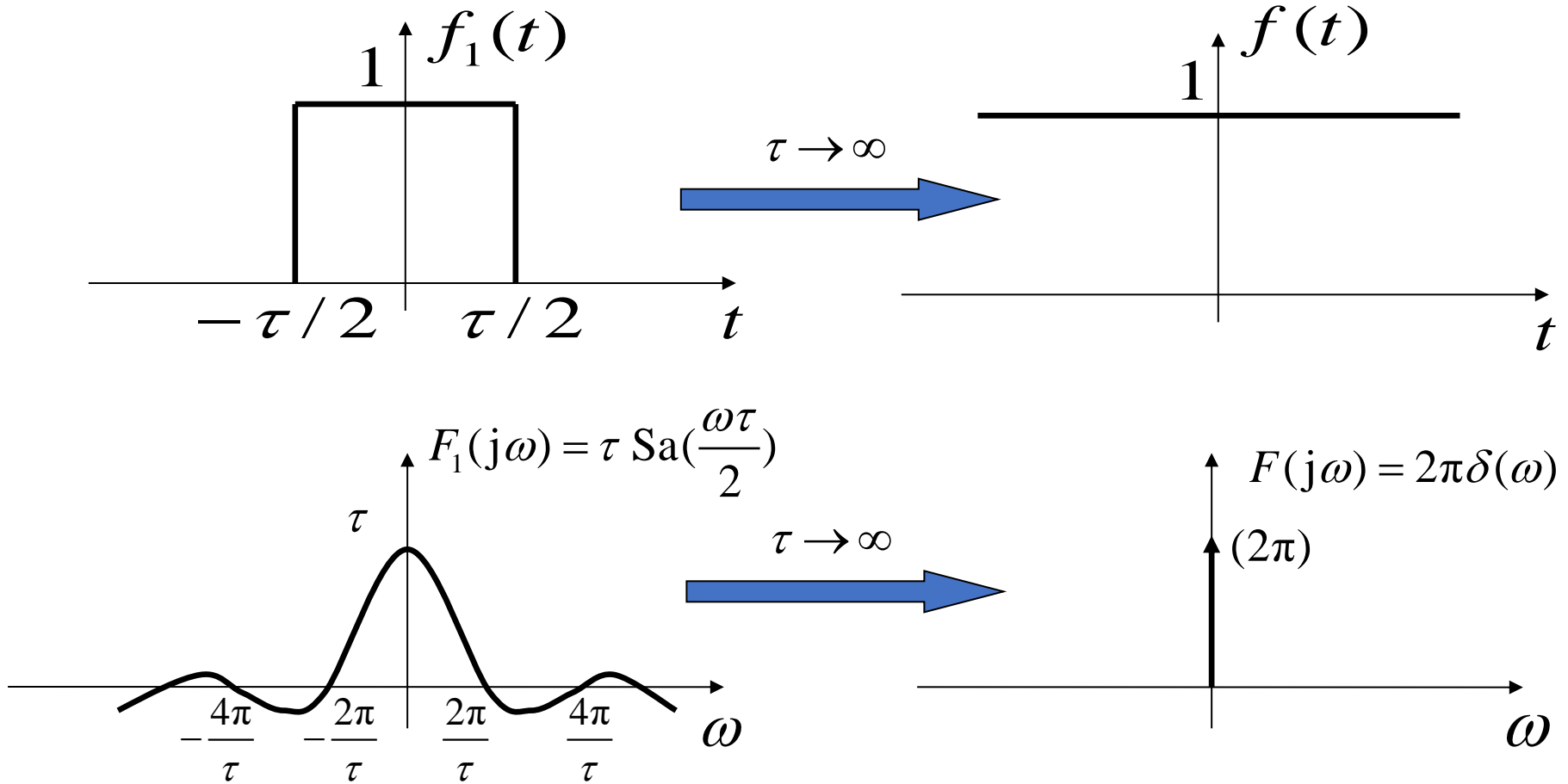


(2) 冲激函数的傅里叶逆变换

$$f(t) = \mathcal{F}^{-1}[\delta(\omega)] = \frac{1}{2\pi} \int_{-\infty}^{\infty} \delta(\omega) e^{j\omega t} d\omega = \frac{1}{2\pi}$$

或 $\mathcal{F}\left[\frac{1}{2\pi}\right] = \delta(\omega), \quad \mathcal{F}[1] = 2\pi\delta(\omega)$





结论：冲激函数与常数(直流)在时域和频域是对偶函数。

(3) 冲激偶的傅里叶变换

$$\because \mathcal{F}[\delta(t)] = 1, \quad \text{即: } \delta(t) = \frac{1}{2\pi} \int_{-\infty}^{\infty} e^{j\omega t} d\omega$$

上式两边对 t 求导得: $\frac{d}{dt} \delta(t) = \frac{1}{2\pi} \int_{-\infty}^{\infty} (j\omega) e^{j\omega t} d\omega$

$$\therefore \mathcal{F} [\delta'(t)] = j\omega$$

同理: $\mathcal{F} [\delta^{(n)}(t)] = (j\omega)^n$

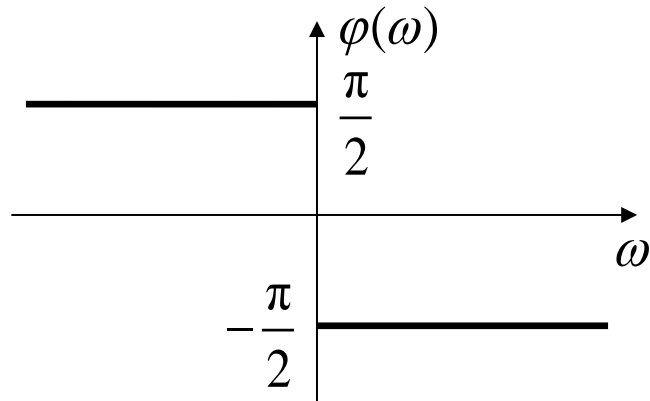
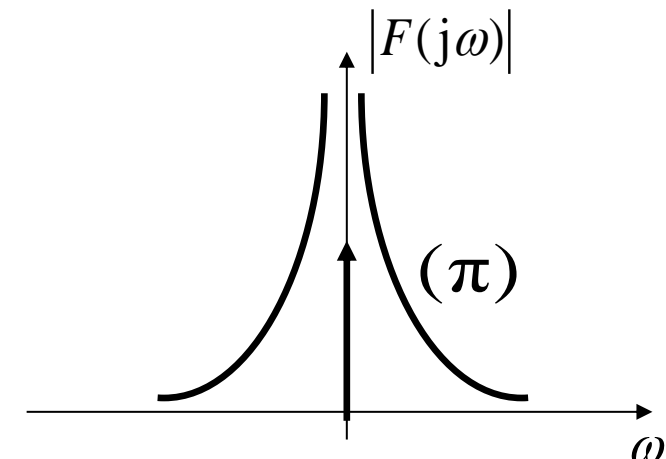
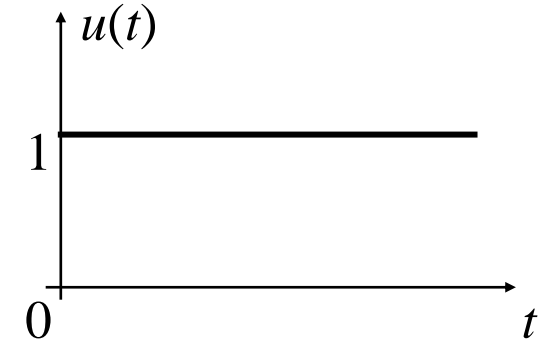
(4) 阶跃信号

$$\because u(t) = \frac{1}{2} + \frac{1}{2} \operatorname{sgn}(t)$$

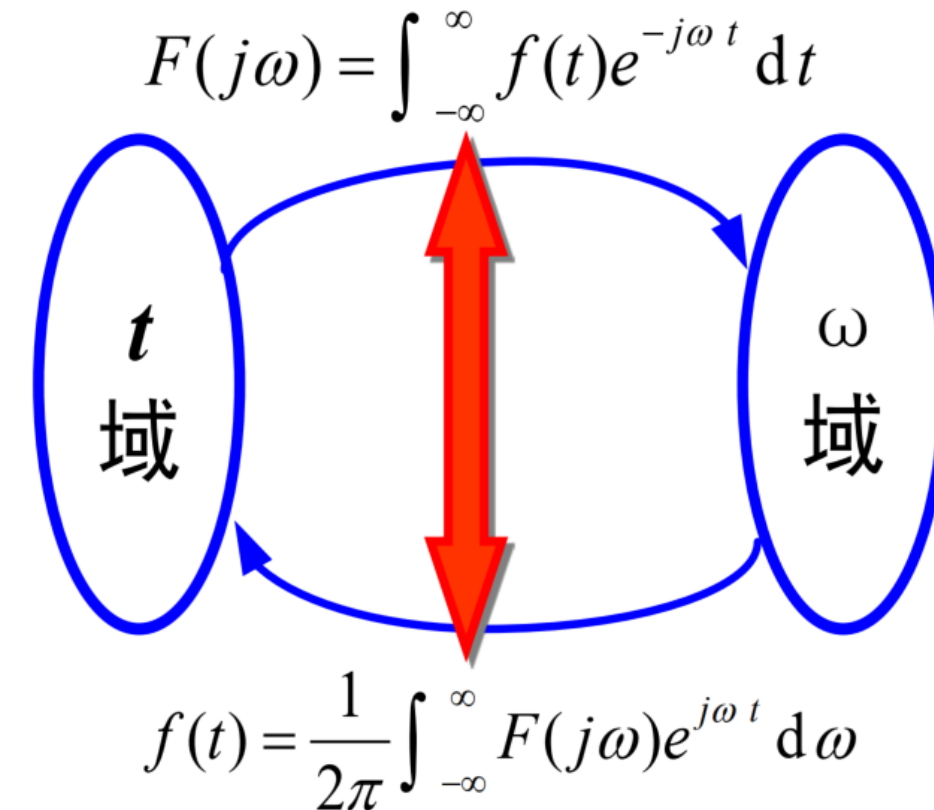
$$\begin{aligned}\therefore F(j\omega) &= \mathcal{F}[u(t)] = \mathcal{F}\left[\frac{1}{2}\right] + \mathcal{F}\left[\frac{1}{2}\operatorname{sgn}(t)\right] \\ &= \pi\delta(\omega) + \frac{1}{j\omega}\end{aligned}$$

对应直流分量

0时刻跳变引起的其他频率分量



归纳记忆：



典型非周期信号（指数、矩形窗、直流、冲激、阶跃）的傅里叶变换要熟记！
幅度谱、相位谱要看频谱函数的实部和虚部，归纳总结规律。

作 业

教材习题

基础题：3-15, 3-16

加强题：3-14